

GM 63657

COMPILATION GEOPHYSIQUE (MAG-PP-MEGATEM), RAPPORT FINAL, PROJET LOUVICOURT

Documents complémentaires

Additional Files



Licence



Licence

Cette première page a été ajoutée
au document et ne fait pas partie du
rapport tel que soumis par les auteurs.

Énergie et Ressources
naturelles

Québec 

ABITIBI

GÉOPHYSIQUE

ALEXANDRIA MINERALS CORPORATION

COMPILATION GÉOPHYSIQUE
(MAG – PP-MEGATEM®)
PROJET LOUVICOURT

CANTONS DE BOURLAMAQUE, LOUVICOURT & VAUQUELIN
CAMP MINIER DE VAL-D'OR, ABITIBI, QUÉBEC

RAPPORT FINAL

06N979 VOLUME 1 JUILLET 2007

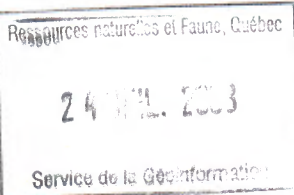
GM 63657

Ressources Naturelles
Secteur mines

46 MAI 2008

Bureau Régional Val-d'Or

739 123



1746, CH. SULLIVAN, VAL-D'OR (QUÉBEC) J9P 7H1

TÉL.: 819-874-8800 FAX: 819-874-8801

WWW.AGEOPHYSICS.COM

VOLUME 1

TABLE DES MATIÈRES

1. LE MANDAT	1
2. LA ZONE À L'ÉTUDE	3
3. LE LEVÉ MEGATEM® (INCLUANT LE MAG)	5
3.1 DESCRIPTION DU LEVÉ	5
3.2 STADES DE DIFFUSION DES ONDES ÉLECTROMAGNÉTIQUES (EM)	6
3.3 CARTOGRAPHIE DES ANOMALIES MEGATEM®	7
4. LEVÉS DE RÉSISTIVITÉ / POLARISATION PROVOQUÉE	8
4.1 LEVÉS COMPRIS DANS LA PRÉSENTE ÉTUDE.....	8
4.2 SPÉCIFICATIONS TECHNIQUES DES LEVÉS.....	10
4.3 INVERSION DES DONNÉES DE RÉSISTIVITÉ / PP	12
5. PRODUITS LIVRÉS	14
6. INTERPRÉTATION ET SUIVI PROPOSÉ	16
6.1 BLOC AIRPORT	16
6.2 BLOC ORENADA.....	21
6.3 BLOC SABOURIN CREEK.....	27
6.4 BLOC AKASABA.....	32
6.5 BLOC LOURMET	51
6.6 BLOC TRIVIO	53
6.7 BLOC SLEEPY.....	57
7. RÉSUMÉ DES RECOMMANDATIONS	64
7.1 CIBLES DE PREMIÈRE PRIORITÉ.....	64
7.2 CIBLES DE SECONDE PRIORITÉ.....	66

LISTE DES FIGURES

FIGURE 1. LES PROPRIÉTÉES DU PROJET LOUVICOURT.....	2
FIGURE 2. LOCALISATION DES PROPRIÉTÉES COUVERTES PAR LA PRÉSENTE ÉTUDE.....	4
FIGURE 3. LOCALISATION DES GRILLES DE LEVÉ DE RÉSISTIVITÉ / PP COMPILÉES DANS LA PRÉSENTE ÉTUDE.....	9
FIGURE 4. LA CONFIGURATION DIPÔLE-DIPÔLE	10
FIGURE 5. LA CONFIGURATION PÔLE-DIPÔLE.....	11
FIGURE 6. DÉMO <i>IMAGE2D</i> ® SUR DES DONNÉES SYNTHÉTIQUES	13

VOLUME 1 (suite)**TABLE DES MATIÈRES****LISTE DES TABLEAUX**

TABLEAU 1. DESCRIPTION DES ANOMALIES INTERPRÉTÉES SUR LE BLOC AIRPORT	17
TABLEAU 2. DESCRIPTION DES ANOMALIES INTERPRÉTÉES SUR LE BLOC ORENADA.....	23
TABLEAU 3. DESCRIPTION DES ANOMALIES INTERPRÉTÉES SUR LE BLOC SABOURIN CREEK.....	29
TABLEAU 4. DESCRIPTION DES ANOMALIES INTERPRÉTÉES SUR LE BLOC AKASABA	36
TABLEAU 5. DESCRIPTION DES ANOMALIES INTERPRÉTÉES SUR LE BLOC LOURMET	52
TABLEAU 6. DESCRIPTION DES ANOMALIES INTERPRÉTÉES SUR LE BLOC TRIVIO	54
TABLEAU 7. DESCRIPTION DES ANOMALIES INTERPRÉTÉES SUR LE BLOC SLEEPY.....	60
TABLEAU 8. CIBLES DE PREMIÈRE PRIORITÉ.....	64
TABLEAU 9. CIBLES DE SECONDE PRIORITÉ	66

CARTES EN POCLETTE

CARTE 10.0W, INTERPRÉTATION GÉOPHYSIQUE, ÉCHELLE 1:10 000

CARTE 10.0E, INTERPRÉTATION GÉOPHYSIQUE, ÉCHELLE 1:10 000

VOLUME 2**TABLE DES MATIÈRES****CARTES EN POCLETTE (échelle 1:10 000)**

CARTE 1.2W, LEVÉ MAGNÉTOMÉTRIQUE, CONTOURS DU CHAMP TOTAL

CARTE 1.2E, LEVÉ MAGNÉTOMÉTRIQUE, CONTOURS DU CHAMP TOTAL

CARTE 1.4W, INTERPRÉTATION GÉOPHYSIQUE SUR LE GRADIENT VERTICAL CALCULÉ

CARTE 1.4E, INTERPRÉTATION GÉOPHYSIQUE SUR LE GRADIENT VERTICAL CALCULÉ

CARTE 8.2W, LEVÉ DE POLARISATION PROVOQUÉE RÉSIDIVITÉ *IMAGE2D*[®] À -50 M (OHM-M)

CARTE 8.2E, LEVÉ DE POLARISATION PROVOQUÉE RÉSIDIVITÉ *IMAGE2D*[®] À -50 M (OHM-M)

CARTE 8.3W, LEVÉ DE POLARISATION PROVOQUÉE RÉSIDIVITÉ *IMAGE2D*[®] À -50 M (MV/V)

CARTE 8.3E, LEVÉ DE POLARISATION PROVOQUÉE RÉSIDIVITÉ *IMAGE2D*[®] À -50 M (MV/V)

1. LE MANDAT

□ *PROJET*

Compilation géophysique

- Levé aéromagnétique
- Levé MEGATEM[®]
- Levés de résistivité / PP

Notre référence : **06N979**

□ *LOCALISATION GÉNÉRALE*

Secteur est du camp minier de Val-d'Or. Les propriétés chevauchent la faille de Cadillac. Voir la figure 1 à la page suivante.

□ *CLIENT*

Alexandria Minerals Corporation

100 Adelaide St.W.

Suite 405

Toronto (ON) M5H 1S3

Tél. : (416) 363-9372

Fax : (416) 363-6872

□ *REPRÉSENTANT*

M. Eddy Canova, P.Géo.

Vice-président exécutif

ecanova@azx.ca

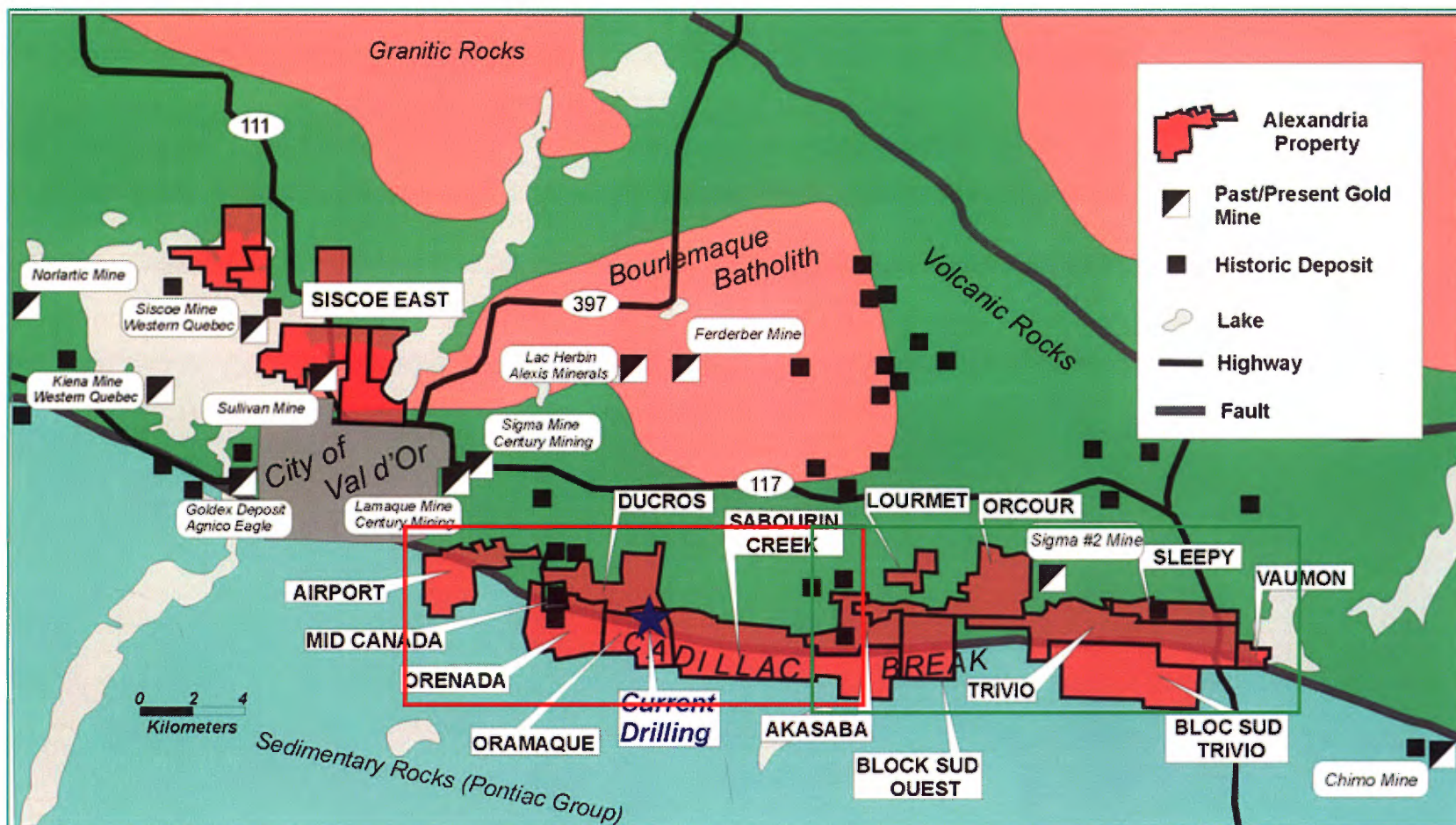
1273 – 5e rue

Val-d'Or (QC) J9P 4A1

Tél. : (819) 874-1333

□ *OBJECTIFS DES TRAVAUX*

- Compiler toutes les données disponibles à l'échelle 1 :10 000.
- Interpréter les résultats.
- Proposer des cibles d'exploration.



Contour rouge : feuillet OUEST Contour vert : feuillet EST

FIGURE 1. LES PROPRIÉTÉS DU PROJET LOUVICOURT

2. LA ZONE À L'ÉTUDE

- *LOCALISATION* **Cantons de Bourlamaque, Louvicourt et Vauquelin**
Feuillets SNRC : **32C/03-04**

- *ÉTENDUE* Le groupe de propriétés couvert par la présente étude comprend 12 blocs s'étendant sur une distance de 23 km le long de la faille de Cadillac, entre Val-d'Or et Louvicourt.

- *STRUCTURES ARTIFICIELLES* Le secteur est recoupé par plusieurs routes arpentées de lignes électriques. On y retrouve également plusieurs anciennes mines, des tours de communication, des parcs à résidus, des pipelines, des chemins de fer ainsi que plusieurs autres structures anthropiques.

- *SYSTÈME DE COORDONNÉES* Projection : Transverse de Mercator (MTM)
Référence : **NAD 83**
Méridien central : 76°30' W (zone 9)

NUMÉRIQUE

PAGE(S) DE DIMENSION HORS STANDARD
NUMÉRISÉE ET POSITIONNÉE À LA SUITE DES
PRÉSENTES PAGES STANDARDS.

3. LE LEVÉ MEGATEM[®] (INCLUANT LE MAG)

3.1 DESCRIPTION DU LEVÉ

- **SYSTÈME** MEGATEM[®] multicoil system (fréquence de base de 90 Hz).
- **QUANTITÉS MESURÉES**
 - **Levé électromagnétique (EM)**
Dérivées ($\partial B/\partial t$) des composantes verticale **Z** et horizontales **X** et **Y** du champ magnétique secondaire (en pT/s).
 - **Levé magnétométrique**
Intensité du champ magnétique terrestre total (en nT).
- **ACQUISITION** Entre le 11 et le 20 janvier 2002.
- **GRILLE DE LEVÉ** Les lignes de vol du levé MEGATEM[®] sont orientées N-S et espacées aux 200 m. Trois lignes de rattachement E-O recoupent les lignes de lectures, au nord, au centre et au sud.
- **ÉTENDUE DE L'ÉTUDE** La présente étude ne s'est pas bornée aux limites des 12 blocs de claims du projet Louvicourt, mais couvre toute la superficie des 2 feuillets 1:10 000 annexés. (voir figure 2)

Fenêtres du signal EM mesuré au MEGATEM[®] (90 Hz)

Canal	Début (µs)	Fin (µs)	Millieu (µs)	Largeur (µs)
1	-2170	-1866	-2018	304
2	-1866	-1215	-1540	651
3	-1215	-737	-976	477
4	-737	-86	-411	651
5	-86	130	22	217
6	130	217	173	87
7	217	304	260	87
8	304	434	369	130
9	434	564	499	130
10	564	738	651	174
11	738	912	825	174
12	912	1085	998	174
13	1085	1302	1193	217
14	1302	1519	1410	217
15	1519	1736	1627	217
16	1736	1953	1844	217
17	1953	2214	2083	260
18	2214	2474	2344	260
19	2474	2821	2647	347
20	2821	3255	3038	434

3.2 STADES DE DIFFUSION DES ONDES ÉLECTROMAGNÉTIQUES (EM)

□ DÉFINITION

Les ondes électromagnétiques (EM) se dispersent dans le sol temporellement selon trois stades distincts. Le premier de ces stades est le stade « *early time* » qui caractérise les corps de faible conductivité tels les failles, le mort-terrain, l'argile et les amas sulfurés faiblement conducteurs (disséminés, riches en zinc, etc.). Le second stade de diffusion est le stade « *mid time* » pour lequel les ondes EM se concentrent davantage dans les corps plus conducteurs. Finalement, le dernier stade est le « *late time* ». À ce stade, les courants ne circulent que dans les corps ayant une bonne conductivité tels les amas sulfurés semi-massifs à massifs.

□ SÉLECTION

Le système MEGATEM[®] échantillonne le champ secondaire sous forme de 20 fenêtres (ou canaux) de temps de durée croissante. Le tableau de la page précédente présente la distribution temporelle de ces fenêtres. Les 5 premières sont situées dans la rampe (en présence du champ primaire) et les 15 suivantes, en l'absence du champ primaire, durant le temps-mort. Seules les 15 dernières fenêtres sont considérées pour le regroupement en stades de diffusion.

Le tableau suivant présente les spécifications de chacun des stades.

Stade	Fenêtres	Largeur totale (ms)	Couleur des anomalies sur les cartes
<i>Early time</i>	6 à 11	0.782	Vert
<i>Mid time</i>	12 à 16	1.042	Jaune
<i>Late time</i>	17 à 20	1.301	Rouge

□ INTÉGRATION DU SIGNAL

Chacun des stades est représenté par l'intégration temporelle de toutes les fenêtres incluses. C'est-à-dire que, pour un stade donné, la valeur de la dérivée temporelle du champ secondaire ($\partial B/\partial t$) mesurée de chaque canal (en pT/s) est multipliée par sa largeur temporelle (en ms). La somme totale est ensuite normalisée par la largeur totale (en ms) du stade intégré. Ce traitement est effectué pour chacune des 3 composantes (X, Y et Z) du signal mesuré.

3.3 CARTOGRAPHIE DES ANOMALIES MEGATEM®

- ❑ *DÉTECTION DES ANOMALIES (À L'AIDE DE GEOSOFT OASIS MONTAJ)*

Les anomalies du levé MEGATEM® ont été répertoriées grâce à la fonction « Anomaly pick » du logiciel Oasis Montaj. Cette option permet de localiser, sur un profil données, des maximums locaux selon deux paramètres : le *niveau de base* et l'*amplitude minimale*. Le *niveau de base* représente la valeur plancher à laquelle l'algorithme se réfère pour localiser des maximum locaux dont l'amplitude excède la valeur choisie d'*amplitude minimale*.

Pour chacun des trois stades de diffusion et pour chaque composante du signal (X, Y et Z), un *niveau de base* et une *amplitude minimale* ont été choisis afin de faire ressortir les anomalies liées à la réponse du sol.
- ❑ *ÉPURATION DES ANOMALIES*

À l'aide d'une photo aérienne récente du camp minier de Val-d'Or, les anomalies causées par des sources artificielles (lignes électriques, infrastructures minières, aéroport, etc.) ont été mises de côté.
- ❑ *DÉLIMITATION DES SEGMENTS CONDUCTEURS*

En fonction de la continuité latérale des anomalies MEGATEM® détectées et de la géologie, des segments ont été tracés puis caractérisés selon leurs propriétés géophysiques (conductance, pendage, profondeur).
- ❑ *NORMALISATION*

Le système MEGATEM® possède un capteur de fréquences 60 Hz (et de ses harmoniques). Ceci permet de localiser les lignes électriques et autres objets anthropiques. Afin d'épurer la réponse totale du signal provenant de ces sources non géologiques, les données de chaque stade de diffusion ont été divisées par les valeurs du senseur 60 Hz.

4. LEVÉS DE RÉSISTIVITÉ / POLARISATION PROVOQUÉE

4.1 LEVÉS COMPRIS DANS LA PRÉSENTE ÉTUDE

Référence	Compagnie	Levé par	Projet	Date	Cantons	GM
06N979A	Aur Resources inc.	Géola ltée	Airport	Février 2001	Bourlamaque	58690
06N979B	Alexis Minerals Corp.	Abitibi Géophysique	Orenada, Oramaque & Mid-Canada	Août 2004	Bourlamaque	
06N979C	Aur Resources inc.	Géola ltée	Sabourin Creek	Janvier 1997	Bourlamaque	54614
06N979D	Cambior inc.	Géophysique TMC	Annamaque	Décembre 2004	Bourlamaque	61932
06N979E	Cambior inc.	Géophysique TMC	Annamaque -- Tex Sol	Novembre 2004	Bourlamaque	61932
06N979F	Cambior inc.	Géophysique TMC	Akasaba	Février 2005	Louvicourt	61960
06N979G	Cambior inc. / Alexandria	Abitibi Géophysique	Sleepy-Akasaba Grille 3	Octobre 2006	Louvicourt	
06N979H	Cambior inc.	Géophysique TMC	Bloc Sud (104)	Novembre 2004	Louvicourt	61541
06N979I	Cambior inc. / Alexandria	Abitibi Géophysique	Sleepy-Akasaba Grille 4	Octobre 2006	Louvicourt	
06N979J	Cambior inc.	Val d'Or Sagax	Bloc Sud (104)	Juillet 2000	Louvicourt / Vauquelin	58179
06N979K	Cambior inc. / Alexandria	Abitibi Géophysique	Sleepy-Akasaba Grille 5	Février 2007	Louvicourt	
06N979L	Alexis Minerals Corp.	Abitibi Géophysique	Trivio -- Vaumon	Août 2004	Louvicourt / Vauquelin	
06N979M	Aur Resources inc.	Géola ltée	Trivio (305)	Mars 1997	Louvicourt	54616
06N979N	Cambior inc. / Alexandria	Abitibi Géophysique	Sleepy-Akasaba Grille 2	Mars 2007	Louvicourt	
06N979O	Provenor inc.	Val d'Or Sagax	Louvicourt Vauquelin	Mars 1999	Louvicourt	58341
06N979P	Cambior inc. / Alexandria	Abitibi Géophysique	Sleepy-Akasaba Grille 1	Mars 2007	Louvicourt	
06N979Q	Aur Resources inc.	Val d'Or Géophysique	Lourmet	Septembre 1989	Louvicourt	49702
06N979R	SOQUEM inc.	Val d'Or Sagax	Rivière Marrias (1226)	Mai 2000	Louvicourt	58122
06N979S	Cambior inc.	Sagax Géophysique	Akasaba (9111)	Octobre 1994	Louvicourt	52862

Voir aussi la figure 3 à la page suivante

NUMÉRIQUE

PAGE(S) DE DIMENSION HORS STANDARD
NUMÉRISÉE ET POSITIONNÉE À LA SUITE DES
PRÉSENTES PAGES STANDARDS.

4.2 SPÉCIFICATIONS TECHNIQUES DES LEVÉS

□ CONFIGURATIONS D'ÉLECTRODES ET COUVERTURE

Référence	Bloc	Configuration	Espacement	n	Couverture (km)
06N979A	Airport	dipôle-dipôle	50 m	1 à 6	42.9
06N979B	Orenada	dipôle-dipôle	25 m et 50 m	1 à 5	37.8
06N979C	Sabourin Creek	pôle-dipôle	50 m	1 à 6	41.4
06N979D	Akasaba	dipôle-dipôle	25 m	1 à 6	8.8
06N979E	Akasaba	dipôle-dipôle	25 m	1 à 6	33.7
06N979F	Akasaba	dipôle-dipôle	25 m	1 à 6	5.5
06N979G	Akasaba	pôle-dipôle	50 m	1 à 6	22.6
06N979H	Akasaba	dipôle-dipôle	50 m	1 à 6	9.2
06N979I	Akasaba	pôle-dipôle	50 m	1 à 6	7.05
06N979J	Akasaba	dipôle-dipôle	50 m	1 à 6	26.3
06N979K	Akasaba	pôle-dipôle	50 m	1 à 6	27.2
06N979L	Trivio	dipôle-dipôle	50 m	1 à 5	7.88
06N979M	Trivio	dipôle-dipôle	50' 100'	1 à 3 1 à 3 ou 1 à 5	29.5
06N979N	Sleepy	pôle-dipôle	50 m	1 à 6	5.5
06N979O	Sleepy	pôle-dipôle	25 m	1 à 10	3.79
06N979P	Sleepy	pôle-dipôle	25 m	1 à 8	
06N979Q	Lourmet	dipôle-dipôle	100'	1 à 5	10.1
06N979R	Akasaba	pôle-dipôle	50 m	1 à 6	15.8
06N979S	Akasaba	dipôle-dipôle	50 m	1 à 5	3.5
				TOTAL	338.52

□ CONFIGURATIONS

Figure 4

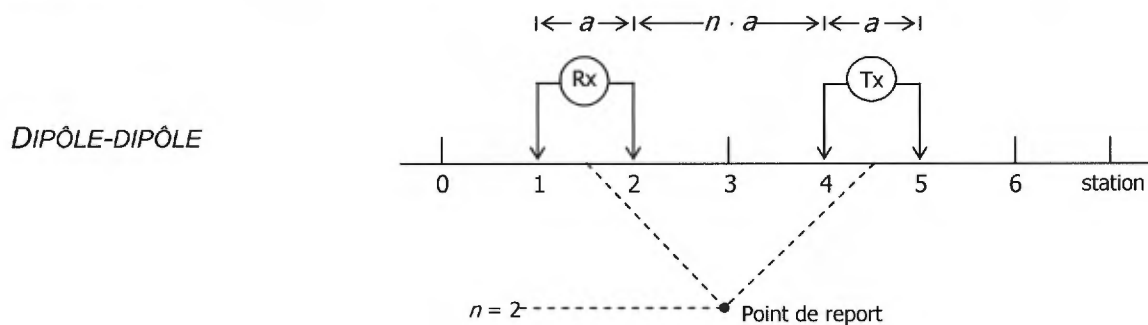
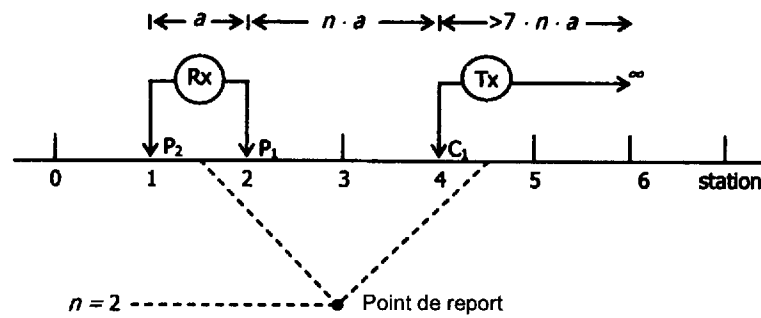


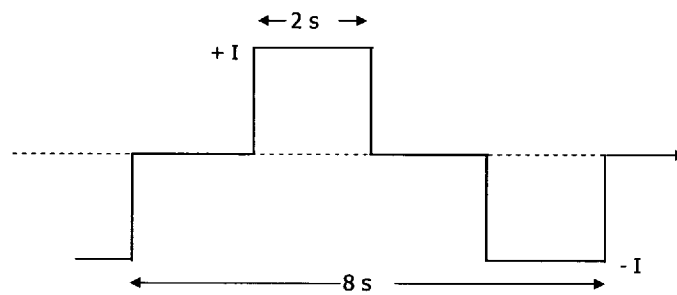
Figure 5

PÔLE-DIPÔLE



□ *DOMAINE DE MESURES*

Tous les levés compilés ont été effectués dans le domaine du temps. Le signal transmis étant une onde carrée bipolaire ayant un cycle effectif de 50%.



4.3 INVERSION DES DONNÉES DE RÉSISTIVITÉ / PP

SECTIONS VRAIE-PROFONDEUR

Les données de résistivité et de chargeabilité apparente ont été inversées automatiquement avec le logiciel *image2D*[®] qui a la particularité de ne nécessiter aucun modèle de départ. Le sous-sol est d'abord divisé en petites cellules et une rétroprojection des données de terrain est effectuée.

Le résultat est un modèle lissé représentant la distribution des corps conducteurs, résistifs et polarisables sur des coupes verticales vraie-profondeurs. L'image résultante représente un modèle contenant toutes les solutions possibles, tout en mettant l'emphase sur les solutions les plus probables.

Un exemple d'inversion sur un modèle numérique est présenté à la page 12. Celui-ci démontre l'habileté d'*image2D*[®] à résoudre des sources voisines et à faciliter l'implantation des sondages.

PRÉCISIONS AU SUJET D'IMAGE2D[®]

Cet algorithme d'inversion ne créera pas d'information ne se trouvant pas dans les données brutes (pseudosections), c'est-à-dire que le logiciel est limité par la technique et la configuration utilisée. Avec le dipôle-dipôle, par exemple, la résolution en profondeur est limitée et les structures sub-horizontales sont difficilement résolues quant à leur extension en profondeur. Par contre, le bruit est filtré, les effets d'affleurement sont très bien identifiés et la résolution de réponses complexes comme deux sources voisines, un corps large ou encore des contacts géologiques verticaux ou inclinés est excellente.

PENDAGE DES SOURCES

L'inversion va fournir une appréciation des pendages des sources anormales sous certaines conditions, dont l'isolement de l'anomalie. Ainsi, s'il y a une seconde source anormale proximale au sud, les deux images vont se fondre en profondeur, créant l'illusion d'un pendage vers le sud pour l'anomalie au nord. D'autre part, si la source est très conductrice et peu profonde, il peut y avoir une asymétrie de l'imagerie due à la position des électrodes par rapport à la source, qui n'est probablement pas centrée sur un dipôle.

SOURCES RÉSISTIVES

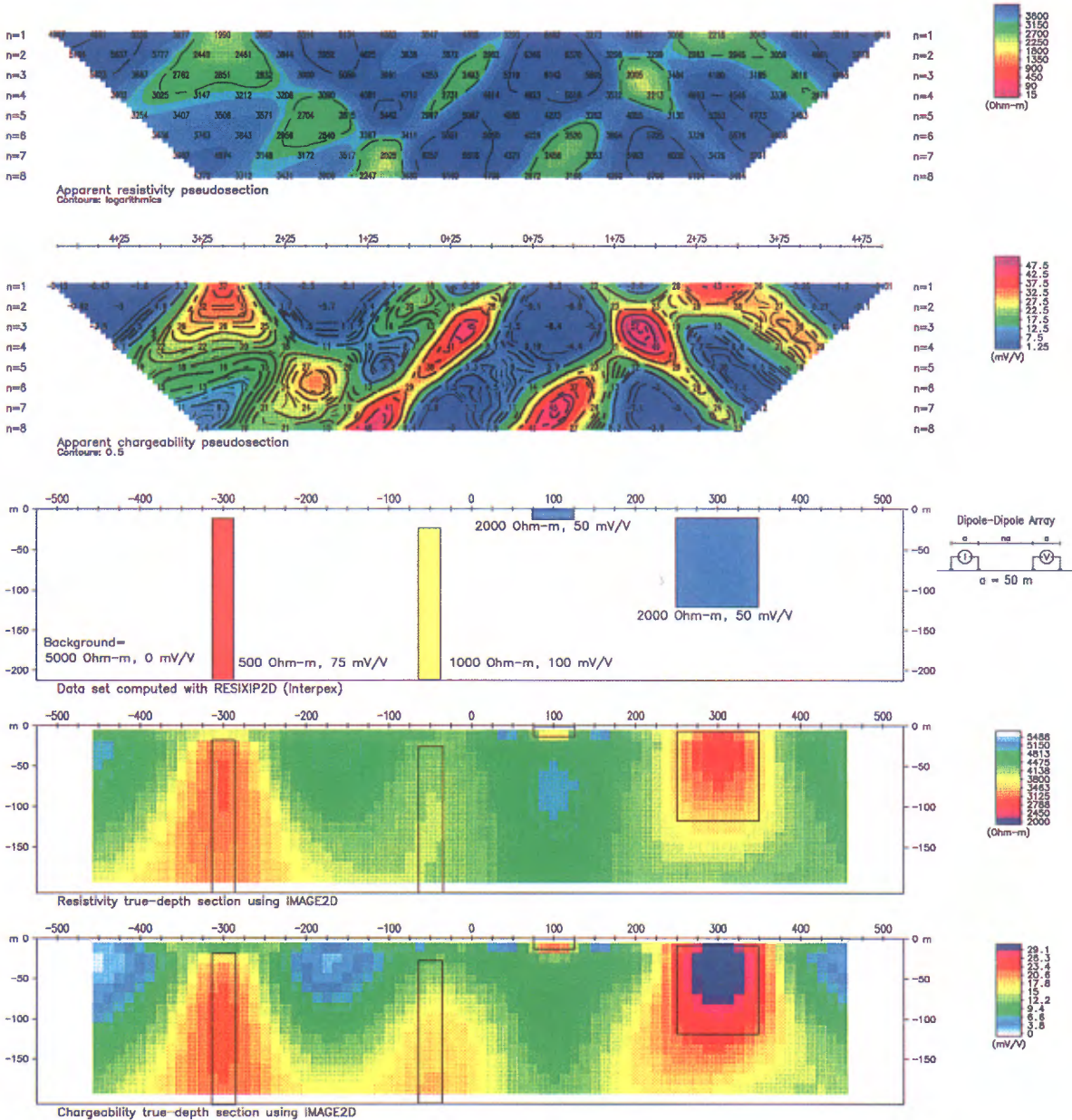
Pour les sources polarisables et résistives, l'extension en profondeur paraîtra toujours limitée (l'inversion semble se fermer en profondeur). C'est une limitation de la méthode électrique et non de l'inversion. Au dessus d'un corps résistif, les lignes de courant se détournent pour aller vers des chemins plus faciles (plus conducteurs). L'investigation en profondeur est donc déficiente et il n'y a tout simplement pas de contribution de la partie profonde du corps polarisable. Dans les faits, on peut présumer que ces corps s'étendent en profondeur.

PROPRIÉTÉS INTRINSÈQUES

La résistivité et la chargeabilité intrinsèque des corps ne sont pas définies à moins que la source soit très large. Mais contrairement aux pseudosections, les sections imagées peuvent contribuer à l'évolution du modèle géologique puisque les résultats de forage peuvent y être superposés directement.

Figure 6. DÉMO *image2D*® sur des données synthétiques

Partie supérieure : pseudosections classiques de résistivité et chargeabilité apparentes.
Au centre : le modèle synthétique à l'origine de ces pseudosections.



Partie inférieure : les sections vraie-profondeurs de résistivité et chargeabilité reconstruites par rétroprojection avec *image2D*®. Le modèle théorique y est superposé.

5. PRODUITS LIVRÉS

❑ **CAHIERS DE PSEUDO-SECTIONS**

Les planches de pseudosections et sections vraie-profondeurs avec l'interprétation sont reliées dans 19 cahiers livrés en **un seul exemplaire** chacun.

Référence	Bloc	Nombre de planches	Échelle	Métrique	Impériale
06N979A	Airport	41	1:5000	✓	
06N979B	Orenada	33 14	1:5000 1:2500	✓	
06N979C	Sabourin Creek	36	1:5000	✓	
06N979D	Akasaba	9	1:2500	✓	
06N979E	Akasaba	28	1:2500	✓	
06N979F	Akasaba	4	1:2500	✓	
06N979G	Akasaba	14	1:5000	✓	
06N979H	Akasaba	4	1:5000	✓	
06N979I	Akasaba	3	1:5000	✓	
06N979J	Akasaba	18	1:5000	✓	
06N979K	Akasaba	16	1:5000	✓	
06N979L	Trivio	4 5	1:5000 1:2500	✓	
06N979M	Trivio	13 19	1:1200 (50') 1:2400 (100')		✓
06N979N	Sleepy	11	1:5000	✓	
06N979O	Sleepy	12	1:2500	✓	
06N979P	Sleepy	30	1:2500	✓	
06N979Q	Lourmet	17	1:2400 (100')		✓
06N979R	Akasaba	13	1:5000	✓	
06N979S	Akasaba	7	1:5000	✓	

❑ **CARTES AU 1:10 000**

Les cartes suivantes sont insérées dans des pochettes reliées à la fin de ce rapport.

Carte #	Titre	Volume
1.2W	Levé magnétométrique – Contours du champ total	2
1.2E	Levé magnétométrique – Contours du champ total	2
1.4W	Interprétation géophysique sur le gradient vertical calculé	2
1.4E	Interprétation géophysique sur le gradient vertical calculé	2
8.2W	Levé de PP – Résistivité <i>image2D</i> [®] à -50 m	2
8.2E	Levé de PP – Résistivité <i>image2D</i> [®] à -50 m	2
8.3W	Levé de PP – Chargeabilité <i>image2D</i> [®] à -50 m	2
8.3E	Levé de PP – Chargeabilité <i>image2D</i> [®] à -50 m	2
10.0W	Interprétation géophysique	1
10.0E	Interprétation géophysique	1

- **TABLEAUX D'ANOMALIES** Toutes les anomalies PP interprétées sont décrites en détail dans un tableau pour chaque bloc.

Bloc	Références	Tableau #	Anomalies	Nombre d'anomalies
Airport	06N979A	1	AIR-01 à AIR-17	18
Orenada	06N979B	2	ORE-01 à ORE-43	23
Sabourin Creek	06N979C	3	SC-01 à SC-10	18
Akasaba	06N979D, E, F, G, H, I, J, K, R, S	4	AKA-01 à AKA-78	72
Lourmet	06N979Q	5	LMT-01 à LMT-08	9
Trivio	06N979L, M	6	TV-01 à TV-26	26
Sleepy	06N979N, O, P	7	SLY-01 à SLY-15	15
			Total	181

□ **EXPLICATION DES TABLEAU D'ANOMALIES**

- Anomalie de PP : identification de l'anomalie sur les planches de pseudosections et sur la carte d'interprétation.
- Localisation : coordonnées de la grille de référence
- Contraste :
 - augmentation de chargeabilité :
 - ? = marginale
 - 1 = faible
 - 2 = modérée
 - 3 = forte
 - 4 = très forte
 - résistivité :

Augmentation	Diminution
↑ = résistif	↓ = conducteur
↑↑ = très résistif	↓↓ = très conducteur
(R) = large zone résistive	
- Association MEGATEM®
 - Conductance : qualité du conducteur en termes de conductance. La conductance est le produit « conductivité • épaisseur » d'un conducteur donné. Les segments de stade *early time* sont caractérisés de faibles conducteurs alors que ceux de stade *late time* sont de forts conducteurs.
 - Pendage : la forme que prend le signal sur les composantes X et Z permet d'estimer le pendage des segments. Il est à noter qu'un conducteur vertical ne donnera pas une réponse symétrique parce que la sonde du MEGATEM® est décentrée par rapport à la boucle d'émission, tant latéralement que verticalement.

6. INTERPRÉTATION ET SUIVI PROPOSÉ

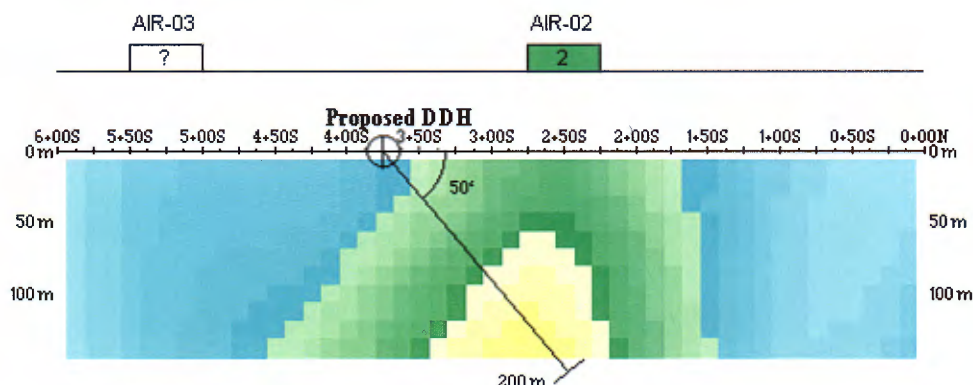
6.1 Bloc Airport

Le tableau 1 ci-après décrit les 18 anomalies PP interprétées sur ce bloc. Dix d'entre elles sont en tout ou en partie associées à une anomalie MEGATEM[®]. Soulignons que la grande anomalie MEGATEM[®] **0009** située entre les anomalies **AIR-03** et **10** au nord et **AIR-06** et **11** au sud est d'origine ionique d'après les sections vraies-profondeurs de la résistivité et de la chargeabilité.

La seule anomalie MEGATEM[®] non associée à une anomalie PP et justifiant un suivi est la **0013** située à l'extrémité sud du bloc. Nous recommandons un levé de PP (configuration pôle-dipôle, $a = 50$ m, $n = 1$ à 8) dans le secteur de cette anomalie de conductance modérée.

Seule l'anomalie PP **AIR-16** est classée en première priorité. Sa localisation à l'extrémité d'une apophyse de la propriété exige toutefois l'extension du levé avant toute tentative d'investigation par forage.

Des sept anomalies PP classées en seconde priorité, **AIR-02** et **AIR-08** sont celles qui semblent présenter le meilleur potentiel. **AIR-08** est subaffleurante de part et d'autre de la faille interprétée F31 et devrait faire l'objet de prospection de 3+00W à 0+00. Quant à **AIR-02**, un **sondage est recommandé sur la ligne 9+00W** :



Les recommandations associées aux autres cibles de priorité moindre sont formulées dans le tableau 1. Une compilation de toutes les recommandations de première et seconde priorité est présentée au chapitre 7.

TABLEAU #1
Description des anomalies interprétées sur le bloc Airport

Anomalie de P.P.	Localisation		Contraste		Extension longitudinale (Ouverte vers...) Azimut	Association magnétique	Association MégaTEM	Contexte géologique	Commentaires	Recommandations	Priorité
	Ligne	Station	Charg.	Rés.			Anomalie #	Formation			
					Conductance		Indices voisins				
AIR-01A	18+00W	9+00S	2	-	> 500 m	Aucune anomalie concordante	0010 Faible NNE (?)	Sédiments	Fracturée par la faille interprétée F30. Anomalie partiellement forée. Meilleure réponse PP à l'extrémité ouest.	Sondage ligne 18+00W Extension du levé PP vers l'ouest.	2
	17+00W	9+25S	1	-							
	16+00W	9+75S	1	-							
AIR-01B	15+00W	10+75S	?	-	110°			----			
	14+00W	11+00S	?	-							
	13+00W	11+25S	?	-							
AIR-02	15+00W	Bout nord	?	-	> 1 500 m	Aucune	0008 (discordante) Forte à l'intersection de la ligne 10+00W Indéterminé	Sédiments	Section centrale d'orientation 090° localisée dans un environnement résistif entre deux failles interprétées (bloc soulevé?). Source de nature formationnelle probable. Meilleure réponse sur la ligne 9+00W, au voisinage de la faille interprétée F30 et de l'intersection des anomalies PP et MégaTEM.	Sondage ligne 9+00W.	2
	14+00W	0+75S	1	-							
	13+00W	1+00S	1	-							
	12+00W	1+25S	2	-							
	11+00W	1+50S	1	-							
	10+00W	2+25S	1	-							
	9+00W	2+50S	2	-							
	8+00W	3+00S	2	(R)							
	7+00W	3+00S	2	(R)							
	6+00W	3+00S	1	(R)							
	5+00W	3+00S	1	(R)							
	4+00W	3+00S	1	(R)							
	3+00W	3+25S	?	-							
	2+00W	3+50S	?	-							
1+00W	3+50S	?	-								
0+00E	3+75S	?	-								
AIR-03	14+00W	3+00S	?	↑	800 m	Flanc nord d'une anomalie modérée oblongue parallèle.	0009 (~ 200 m au sud) Faible Sud	Contact sédiments / komatiite	Très faible anomalie.	Abandon	5
	13+00W	3+25S	?	↑							
	12+00W	3+75S	?	↑							
	11+00W	4+50S	?	↑							
	10+00W	4+75S	?	↑							
	9+00W	5+25S	?	-							
	8+00W	5+50S	?	-							
	7+00W	5+75S	?	-							
6+00W	6+00S	1	-								
AIR-04	13+00W	Bout sud	2	-	> 100 m ---- 090°	Aucune	0012 (200 m au SE)	Sédiments	Anomalie mal définie en bout de profil.	Extension du levé PP vers le sud.	2
	12+00W	Bout sud	2	-							

REÇU AU MRNF
06 MAI 2008
739123
DIRECTION DES TITRES MINIERES

TABLEAU #1
Description des anomalies interprétées sur le bloc Airport

Anomalie de P.P.	Localisation		Contraste		Extension longitudinale (Ouverte vers...) Azimut	Association magnétique	Association MégaTEM	Contexte géologique	Commentaires	Recommandations	Priorité
	Ligne	Station	Charg.	Rés.			Anomalie #	Formation			
					Conductance		Indices voisins				
AIR-05	10+00W	12+00S	1	-	500 m --- 090° à 110°	Faible anomalie orientée à 125°	0010	Sédiments	Prolongement de AIR-01 à l'est de la faille interprétée F31. Attendre les résultats de l'investigation de AIR-01.	Sondage possible ligne 9+00W.	3
	9+00W	12+00S	2	-			Faible				
	8+00W	12+25S	1	-			NNE?	---			
	7+00W	12+25S	1	-							
	6+00W	12+25S	1	-							
AIR-06	9+00W	9+50S	1	-	300 m --- 075°	Anomalie modérée oblongue orientée NW-SE (non concordante)	Aucune	Sédiments	Faible anomalie discordante. Meilleure réponse sur la ligne 8+00W.	Sondage possible ligne 9+00W.	3
	8+00W	9+25S	1	-							
	7+00W	9+00S	1	-							
	6+00W	8+75S	?	-							
AIR-07	9+00W	1+75N	2	↑	> 200 m --- 110°	Aucune	Aucune	Basalte - andésite	Amplitude PP augmente vers l'ouest.	Extension du levé PP vers l'ouest.	3
	8+00W	1+25N	1	↑							
	7+00W	1+00N	?	↑							
AIR-08	6+00W	1+00S	?	-	> 1 900 m (l'est) 080° à 100°	Signature d'une intrusion mafique au nord qui rejoint l'extrémité EST de AIR-08	0023 (est) Modérée	Contact sédiments / intrusion mafique / basalte - andésite	Sur le flanc sud d'un haut résistif (intrusion mafique?). Anomalie mal définie de la ligne 1+00E à la ligne 11+00E (en bout de profil et nombreuses mesures de chargeabilité erratiques enlevées de la base de données).	Prospection ligne 3+00W à ligne 0+00. Reprise du levé PP et extension vers le sud de ligne 1+00E à ligne 11+00E.	2
	5+00W	1+25S	?	-							
	4+00W	1+50S	?	-							
	3+00W	1+50S	2	-							
	2+00W	1+75S	3	-							
	1+00W	2+00S	3	-							
	0+00E	2+00S	3	-							
	1+00E	2+25S	3	-							
	2+00E	2+50S	2	-							
	3+00E	2+50S	2	-							
	4+00E	2+50S	2	-							
	5+00E	2+50S	2	-							
	6+00E	2+50S	2	-							
	7+00E	2+50S	2	-							
	8+00E	2+75S	2	-							
9+00E	2+75S	1	-								
10+00E	2+25S	?	-								
11+00E	2+25S	1	-								
12+00E	1+75S	2	-								
13+00E	1+50S	2	-								
AIR-09	5+00W	10+50S	1	(R)	< 100 m --- ?	Aucune	Aucune	Sédiments	Anomalie isolée	Abandon	5

REÇU AU MRNF
06 MAI 2008
739123
SECTION DES TIRES MINÈRES

TABLEAU #1
Description des anomalies interprétées sur le bloc Airport

Anomalie de P.P.	Localisation		Contraste		Extension longitudinale (Ouverte vers...) Azimut	Association magnétique	Association MégaTEM		Contexte géologique		Commentaires	Recommandations	Priorité	
	Ligne	Station	Charg.	Rés.			Anomalie #	Conductance	Pendage	Formation				Indices voisins
AIR-10	5+00W	5+50S	1	-	> 500 m (l'est) 090°	Aucune	Aucune	Sédiments	---	Extension possible de AIR-03 à l'est de la faille interprétée F31 (intensité de chargeabilité nettement supérieure à AIR-03)	Sondage ligne 2+00W. Extension du levé PP vers l'est.	2		
	4+00W	5+75S	1	-										
	3+00W	5+75S	1	-										
	2+00W	5+50S	2	-										
	1+00W	5+50S	2	-										
	0+00E	5+50S	2	-										
AIR-11	4+00W	9+50S	2	-	> 400 m (l'est) 115°	Extrémité est d'une anomalie modérée oblongue subparallèle.	0009 (100 m au nord)	Contact sédiments / komatiite	---	Le levé PP nous apprend que l'anomalie MégaTEM au nord est causée par une fosse de mort-terrain.	Sondage ligne 2+00W. Extension du levé PP vers l'est.	2		
	3+00W	9+75S	2	-			Modérée							
	2+00W	10+25S	2	-			Sud							
	1+00W	10+75S	1	-										
	0+00E	11+50S	1	-										
AIR-12	1+00W	8+00S	1	-	> 100 m (l'est) 100°	Aucune	Aucune	Sédiments	---	Extension longitudinale à définir.	Extension du levé PP vers l'est.	3		
	0+00E	8+25S	1	-										
AIR-13	0+00E	0+25N	?	(R)	800 m --- 090°	La portion EST est coïncidente avec la signature magnétique d'une intrusion mafique	0023 (ouest)	Andésite – basalte, intrusion mafique	---	Localisée dans une large zone résistive et magnétique associée à l'intrusion mafique. Réponse PP expliquée.	Abandon	5		
	1+00E	0+25N	?	(R)			Modérée							
	2+00E	0+25N	1	(R)			Sub-vertical							
	3+00E	0+00N	1	(R)										
	4+00E	0+75N	2	(R)										
	5+00E	0+50N	2	(R)										
	6+00E	0+50N	2	(R)										
	7+00E	0+50N	1	(R)										
8+00E	0+25N	?	(R)											
AIR-14	0+00E	4+00N	1	↑	> 200 m (l'ouest) 095°	Coïncidente avec l'anomalie associée à l'intrusion mafique	Aucune	Intrusion mafique	---	Extension possible à l'ouest de F31 de AIR-13. Très faible anomalie justifiant possiblement une extension du levé vers l'ouest.	Extension du levé PP vers l'ouest.	4		
	1+00E	3+75N	?	↑										
	2+00E	3+75N	?	↑										
AIR-15	4+00E	2+50N	1	-	100 m --- 125°	Flanc nord de l'anomalie associée à l'intrusion mafique	Aucune	Intrusion mafique	---	Extension possible de AIR-14 à l'est de F31.	Abandon	5		
	5+00E	1+75N	?	-										
AIR-16	8+00E	5+25N	1	-	> 300 m (l'est et l'ouest) 090° à 080°	Aucune	0022	Andésite - basalte	---	Anomalie intense mais mal définie en bout de profil.	Extension du levé PP vers le nord, l'est et l'ouest.	1		
	10+00E	5+25N	3	-			Modérée							
	11+00E	Bout nord	4	-			Indéterminé							

REÇU AU MRNF
06 MAI 2008
739123
DIRECTION DES TITRES MINIERES

TABLEAU #1
Description des anomalies interprétées sur le bloc Airport

Anomalie de P.P.	Localisation		Contraste		Extension longitudinale (Ouvrte vers...) Azimut	Association magnétique	Association MégaTEM	Contexte géologique	Commentaires	Recommandations	Priorité
	Ligne	Station	Charg.	Rés.			Anomalie #	Formation			
							Conductance	Indices voisins			
AIR-17	19+00E	2+00N	?	-	> 500 m (l'est et l'ouest) 065° à 100°	Faible anomalie concordante subparallèle	0034 (ouest)	Andésite - basalte	Linéament subparallèle à la faille interprétée F1. Anomalies mal définies à cause de la faible longueur des profils. Vérifier les forages existants dans ce secteur.	Extension (incluant reprise) du levé PP.	2
	20+00E	1+50N	?	-			Forte				
	21+00E	1+50N	1	-			Sub-vertical	---			
	22+00E	2+00N	1	-							
	23+00E	2+50N	1	-							
	24+00E	3+00N	1	-							

LÉGENDE :

Chargeabilité

Augmentation

? = marginale

1 = faible

2 = modérée

3 = forte

4 = très forte

Résistivité

Augmentation

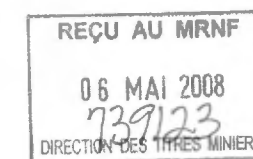
↑ = résistif

↑↑ = très résistif

(R) = large zone résistive

Diminution

↓ = conducteur ↓↓ = très conducteur



6.2 Bloc Orenada

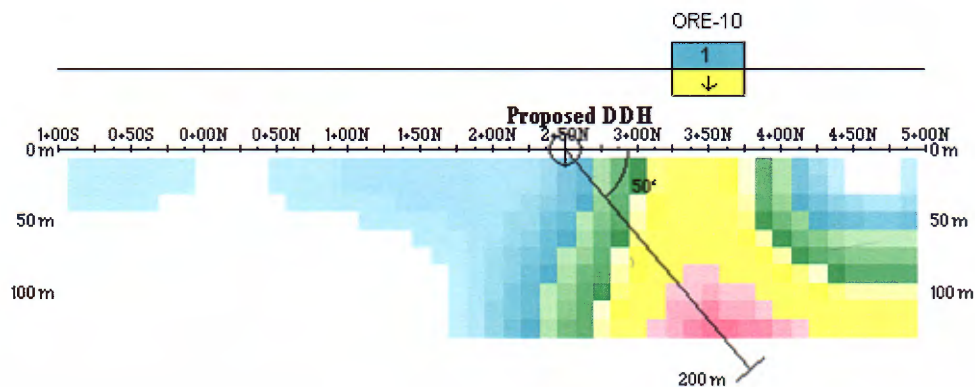
Le tableau 2 ci-après décrit les 23 anomalies PP interprétées sur ce bloc. Seulement sept d'entre elles sont au moins partiellement associées à une anomalie MEGATEM®.

La confrontation des anomalies MEGATEM® aux sections vraie-profondeurs *image2D*® nous a permis d'en classifier plusieurs en tant que source ionique. Même l'anomalie **0044** qui présentait une bonne conductance apparente n'est pas chargeable, mais associée à une augmentation de l'épaisseur du recouvrement.

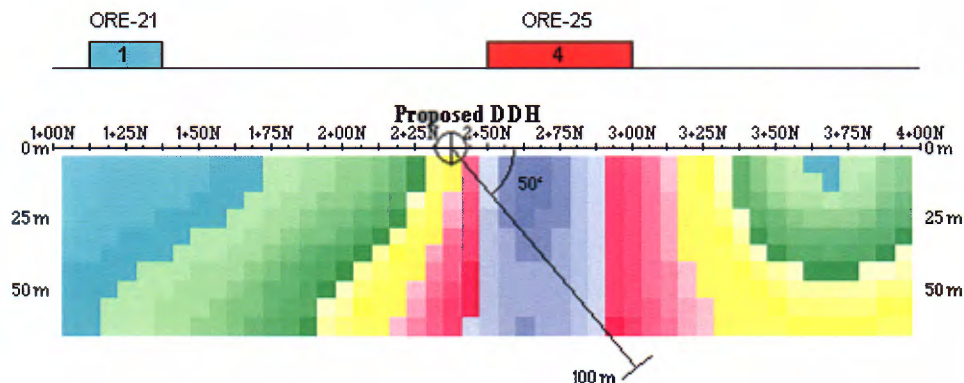
D'autre part, les anomalies MEGATEM® **0045**, **0087** et **0086**, toutes situées au sud de la grille de référence 06N979B, devraient être investiguées par résistivité / PP en configuration pôle-dipôle, $a = 25 \text{ m}$, $n = 1$ à 10.

Cinq anomalies PP sont également des cibles de première priorité.

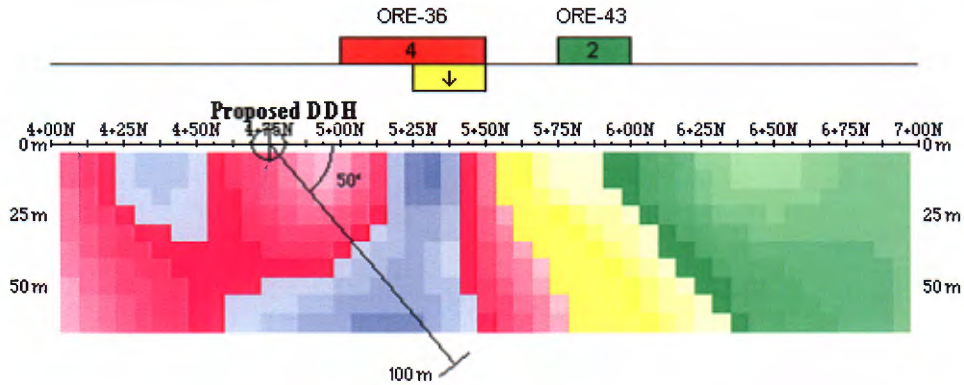
ORE-10 : localisée dans un environnement prometteur (Orenada Zone 5), **un sondage est recommandé sur la ligne 23+00E** :



ORE-25 : source très polarisable mais non conductrice à **prospector sur la ligne 48+00E et à tester par sondage sur la ligne 55+00E** (si pas déjà classée) :



ORE-36 : structure subsidiaire subparallèle à Orenada Zone 3 à **prospector sur la ligne 59+00E** et à **tester par sondage sur la ligne 56+00E** :



ORE-20 et ORE-27 : situées dans le secteur d'Orenada Zone 3 également, celles-ci semblent subaffleurantes par endroit et pourraient donc **être investiguées par prospection**.

De plus, cinq anomalies constituent des cibles de deuxième priorité et cinq autres de troisième priorité. Le suivi recommandé est présenté dans le tableau 2. Une compilation de toutes les recommandations de première et seconde priorité est présentée au chapitre 7.

TABLEAU #2

Description des anomalies interprétées sur le bloc Orenada

Anomalie de P.P.	Localisation		Contraste		Extension longitudinale (Ouverte vers...) Azimut	Association magnétique	Association MégaTEM		Contexte géologique		Commentaires	Recommandations	Priorité	
	Ligne	Station	Charg.	Rés.			Anomalie #	Conductance	Formation	Indices voisins				
														Pendage
ORE-01	9+00E	2+00N	2	↓	> 500 m (l'ouest) 090°	Anomalie modérée concordante	0043 (ouest)	Contact intrusion / laves mafiques Mid-Canada (Cu-Au)	Reliée à ORE-07 à l'est de F33. Secteur déjà foré. Vérifier si l'anomalie est bien expliquée avant de forer à nouveau.	Sondage conditionnel sur la ligne 10+00E	4			
	10+00E	2+25N	2	↓										
	12+00E	2+75N	1	-										
	14+00E	3+25N	1	(R)										
ORE-02	10+00E	Bout nord	1	↑	< 200 m ---- ?	Aucune	Aucune	Bordure de l'intrusion East Sullivan	Mal définie en bout de profil.	Levé de PP de détail	2			
ORE-03	12+00E	4+25N	3	↑	< 300 m ---- ?	Forte anomalie ponctuelle	Aucune	Basalte - andésite	Subaffleurante.	Prospection ligne 12+00E	2			
ORE-04	14+00E	Bout nord	1	-	< 300 m ---- ?	Aucune directe	Aucune	Bordure de l'intrusion East Sullivan	Mal définie en bout de profil.	Levé de PP de détail	3			
ORE-05	14+00E	7+75N	1	-	> 100 m (l'est) 070°	Anomalie modérée concordante	0042 (est)	Bordure de l'intrusion East Sullivan	Mal définie en bout de profil sur la ligne 16+00E.	Levé de PP de détail	3			
	16+00E	8+75N	2	-			Faible Sub-vertical							
ORE-07	14+00E	2+25N	1	(R)	> 2 200 m 090° à 110°	Anomalie modérée à forte concordante	Généralement forte	Bordure sud de l'intrusion East Sullivan	Subaffleurante à l'ouest, plonge légèrement vers l'est. Extension probable de ORE-01 à l'est de la faille interprétée F33. Secteur déjà foré surtout à l'ouest. La portion est montre une réponse très faible en chargeabilité. Potentiel résiduel à confirmer après étude des sondages existants avant de forer à nouveau.	Sondage conditionnel sur la ligne 18+00E	4			
	16+00E	2+75N	2	↓↓										
	18+00E	3+50N	2	↓↓										
	19+00E	4+00N	2	↓↓										
	20+00E	4+50N	1	↓										
	21+00E	4+75N	1	↓										
	22+00E	5+25N	1	-										
	24+00E	5+75N	1	-										
	25+00E	5+75N	1	-										
	26+00E	6+00N	1	-										
	27+00E	Bout nord	?	-										
	28+00E	6+50N	1	-										
	29+00E	6+50N	?	-										
	30+00E	6+75N	?	-										
31+00E	6+50N	1	-											
32+00E	6+25N	1	-											
33+00E	6+25N	1	-											
34+00E	6+25N	1	-											
35+00E	6+25N	1	-											
36+00E	Bout nord	1	-											
ORE-09	18+00E	7+00N	2	-	< 200 m (l'est) ?	Flanc nord d'une anomalie modérée	0079 (ouest) Modérée Indéterminé	Bordure de l'intrusion East Sullivan	Extension vers l'est (le long de l'anomalie MegaTEM) à préciser.	Extension du levé PP vers l'est	3			

REÇU AU MRNF
06 MAI 2008
729123
DIRECTION DES TITRES MINIERES

TABLEAU #2
Description des anomalies interprétées sur le bloc Orenada

Anomalie de P.P.	Localisation		Contraste		Extension longitudinale (Ouverte vers...) Azimut	Association magnétique	Association MégaTEM	Contexte géologique	Commentaires	Recommandations	Priorité	
	Ligne	Station	Charg.	Rés.			Anomalie #	Formation				
					Conductance	Indices voisins						
ORE-10	22+00E	3+25N	1	↓	300 m	Anomalie modérée à forte concordante	0043 (centre)	Contact komatiite / andésite	Faible réponse PP mais localisée dans un environnement prometteur.	Sondage ligne 23+00E	1	
	23+00E	3+50N	1	↓	---		Forte					
	24+00E	3+75N	1	↓	090°		Abrupt vers le nord	---				
	25+00E	3+75N	?	↓								
ORE-16	32+00E	0+75N	1	-	300 m	Flanc sud d'une forte anomalie	Aucune	Intrusion felsique à intermédiaire	Située dans la prolongation est de l'indice Orenada Zone 5 (Cu, Au). Pourrait être au moins partiellement induite par le contact.	Prospection ligne 35+00E	2	
	33+00E	0+75N	1	-	---			Orenada Zone 5 (Cu, Au)				
	34+00E	0+75N	1	(R)	100°							
	35+00E	0+75N	2	(R)								
ORE-20	41+00E	0+75N	2	↑	600 m	Flanc sud d'une anomalie modérée à forte, de courte longueur d'onde	Aucune	Contact sédiments / basalte	Source résistive, polarisable et magnétique. Subaffleurante. Signature distincte des autres anomalies conductrices situées à l'est (ORE-27, 30 et 36).	Prospection lignes 41+00E, 45+00E et 46+00E	1	
	42+00E	0+75N	1	↑				---				Orenada Zone 3 (Cu, Au)
	43+00E	1+00N	1	↑				090°				
	44+00E	1+38N	1	↑↑								
	45+00E	1+63N	2	↑↑								
	46+00E	1+75N	3	↑↑								
47+00E	2+13N	3	↑↑									
ORE-21	43+00E	0+25N	2	(R)	1 400 m	Aucune	Aucune	Sédiments	Source polarisable non conductrice gisant sur le flanc sud d'une zone résistive (ORE-20). Source probablement formationnelle. Contexte analogue à Orenada Zone 4?	Sondage ligne 48+00E Prospection lignes 51+00E et 57+00E	2	
	44+00E	0+25N	2	(R)								---
	45+00E	0+25N	1	(R)								090° à 110°
	46+00E	0+25N	1	(R)								
	47+00E	0+25N	2	(R)								
	48+00E	0+25N	2	(R)								
	49+00E	0+25N	2	(R)								
	50+00E	0+25S	1	(R)								
	51+00E	0+50N	2	(R)								
	52+00E	0+50N	2	(R)								
	54+00E	1+13N	1	(R)								
	55+00E	1+25N	1	(R)								
56+00E	1+88N	?	(R)									
57+00E	2+38N	2	(R)									
ORE-22	44+00E	3+50N	?	-	100 m	Forte anomalie de courte longueur d'onde	Aucune	Basalte	Associée à ORE-24 et 29? Très faible réponse PP.	Abandon	5	
	45+00E	3+25N	1	-	N110°							
ORE-24	46+00E	4+25N	?	-	200 m	Forte anomalie coïncidente	Aucune	Basalte	Associée à ORE-22 et 29? Très faible réponse PP.	Abandon	5	
	47+00E	4+25N	1	-	---							
	48+00E	4+38N	?	-	N100°							

REÇU AU MRNF
06 MAI 2008
139123
LES TITRES MINIERES

TABLEAU #2

Description des anomalies interprétées sur le bloc Orenada

Anomalie de P.P.	Localisation		Contraste		Extension longitudinale (Ouverte vers...) Azimut	Association magnétique	Association MégaTEM	Contexte géologique	Commentaires	Recommandations	Priorité
	Ligne	Station	Charg.	Rés.			Anomalie #	Formation			
					Conductance	Indices voisins					
ORE-25	47+00E	1+63N	4	-	1 000 m	Flanc sud d'une forte anomalie.	Aucune	Contact gabbro / basalte et/ou sédiments	Forte réponse en chargeabilité mais généralement non conductrice. Cible très prometteuse si pas déjà évaluée.	Prospection ligne 48+00E Sondage ligne 55+00E	1
	48+00E	1+63N	4	↓							
	49+00E	1+50N	2	-							
	50+00E	1+63N	3	-							
	51+00E	1+75N	3	↓↓	---						
	52+00E	2+00N	3	-							
	53+00E	2+25N	2	-							
	54+00E	2+50N	3	-							
	55+00E	2+75N	4	-							
	56+00E	2+75N	2	-							
57+00E	3+00N	1	-	N100°							
ORE-27	47+00E	2+63N	3	-	< 1 200 m	Flanc sud d'une forte anomalie	Aucune	Gabbro - basalte	Très forte réponse en chargeabilité, très localement conductrice. Dans l'extension de ORE-29, mais de signature différente. Cible très prometteuse si pas déjà évaluée.	Prospection lignes 48+00E, 49+00E, 52+00E, 54+00E et 57+00E	1
	48+00E	3+00N	4	-							
	49+00E	3+25N	3	↓↓							
	50+00E	3+38N	4	-							
	51+00E	3+50N	4	-	(l'est)						
	52+00E	3+50N	4	-							
	53+00E	3+75N	4	-							
	54+00E	4+00N	4	↓							
	55+00E	4+25N	3	-							
	56+00E	4+25N	3	-							
	57+00E	4+25N	4	↓							
	58+00E	4+25N	3	↓							
59+00E	4+50N	2	-	N100°							
ORE-28	48+00E	1+13S	?	-	> 100 m (l'est) N125°	Aucune	0086 (est) Modérée Indéterminée	Komatiite ---	Très faible anomalie chevauchant la faille interprétée F6. Cible du style Orenada Zone 4?	Couverture PP vers le sud et l'ouest (anomalie MégaTEM)	2
	49+00E	Bout sud	1	-							
ORE-29	49+00E	5+75N	1	-	100 m --- N085°	Coïncidente avec une forte anomalie	Aucune	Gabbro - basalte ---	Très faible anomalie. Associée à ORE-22 et 24?	Abandon	5
	50+00E	6+25N	?	-							
ORE-30	49+00E	2+25N	4	-	500 m	Flanc sud d'une forte anomalie	Modérée à forte	Gabbro - basalte	Signature de la Zone 3 Orenada (anomalie directement localisée à l'aplomb).	Anomalie probablement classifiée	4
	50+00E	2+50N	4	↓↓							
	51+00E	2+50N	4	↓↓							
	52+00E	2+75N	4	↓↓							
	53+00E	3+13N	4	↓↓							
54+00E	3+25N	4	↓↓	090°							

REÇU AU MRNF

06 MAI 2008

739/23
DIRECTION DES TITRES MINIERES

TABLEAU #2
Description des anomalies interprétées sur le bloc Orenada

Anomalie de P.P.	Localisation		Contraste		Extension longitudinale (Ouverte vers...) Azimut	Association magnétique	Association MégaTEM		Contexte géologique		Commentaires	Recommandations	Priorité
	Ligne	Station	Charg.	Rés.			Anomalie #	Conductance	Formation	Indices voisins			
ORE-31	49+00E	4+13N	1	-	> 300 m	Forte anomalie coïncidente	Aucune	Gabbro	---	De source lithologique probable.	Prospection ligne 52+00E. Extension du levé PP vers l'est.	3	
	50+00E	4+88N	2	-	(l'est)								
	51+00E	5+88N	2	-	070°								
	52+00E	6+38N	3	-									
ORE-32	51+00E	4+63N	3	(R)	200 m	Sur le flanc sud d'une forte anomalie coïncidente	Aucune	Gabbro	---	Subparallèle à ORE-31. Signature du gabbro résistif et magnétique.	Anomalie probablement classifiée	4	
	52+00E	5+00N	4	(R)	---								
	53+00E	6+00N	4	(R)	070°								
ORE-36	53+00E	4+63N	4	-	> 600 m	Flanc sud d'une forte anomalie	Aucune	Contact gabbro / basalte	---	Structure subsidiaire affichant une bonne réponse PP. Subparallèle à la Zone 3 Orenada.	Sondage ligne 56+00E. Prospection ligne 59+00E. Extension du levé PP vers l'est.	1	
	55+00E	5+00N	2	↓	(l'est)								
	56+00E	5+25N	4	↓	090°								
	57+00E	5+25N	4	↓									
	58+00E	5+38N	3	-									
	59+00E	5+75N	3	-									
ORE-41	56+00E	8+50N	2	(R)	> 300 m	Flanc nord d'une forte anomalie coïncidente	Aucune	Gabbro - basalte	---	Dans le prolongement de l'axe de ORE-32. Signature du gabbro résistif et magnétique.	Anomalie probablement classifiée	4	
	57+00E	9+13N	4	(R)	(l'est)								
	58+00E	9+50N	2	(R)	070°								
	59+00E	Bout nord	1	(R)									
ORE-43	56+00E	5+88N	2	-	> 300 m	Flanc sud d'une forte anomalie	Aucune	Gabbro	---	Située immédiatement au nord de ORE-26.	Prospection lignes 58+00E et 59+00E. Extension du levé PP vers l'est.	3	
	57+00E	5+75N	2	-	(l'est)								
	58+00E	6+25N	2	(R)	+/- 090°								
	59+00E	6+88N	2	-									

LÉGENDE :

Chargeabilité
Augmentation
? = marginale
1 = faible
2 = modérée
3 = forte
4 = très forte

Résistivité
Augmentation
↑ = résistif
↑↑ = très résistif
(R) = large zone résistive
Diminution
↓ = conducteur ↓↓ = très conducteur



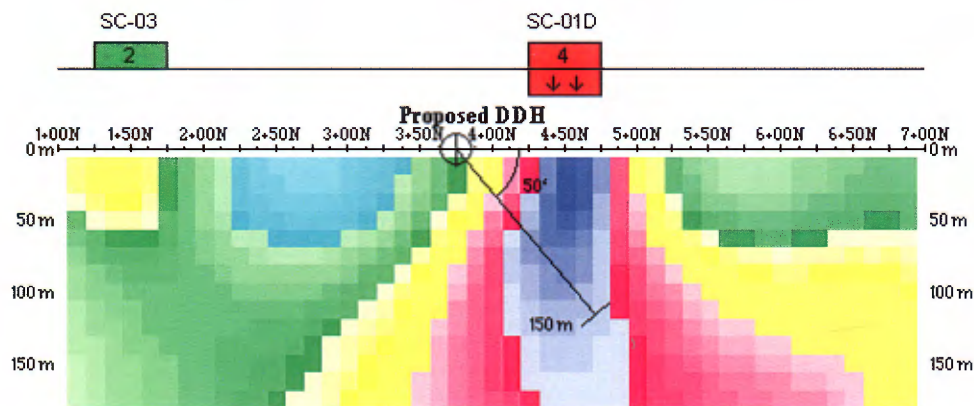
6.3 Bloc Sabourin Creek

Le tableau 3 ci-après présente les 18 anomalies PP interprétées sur ce bloc. Dix d'entre elles sont associées à une ou plusieurs anomalies MEGATEM®.

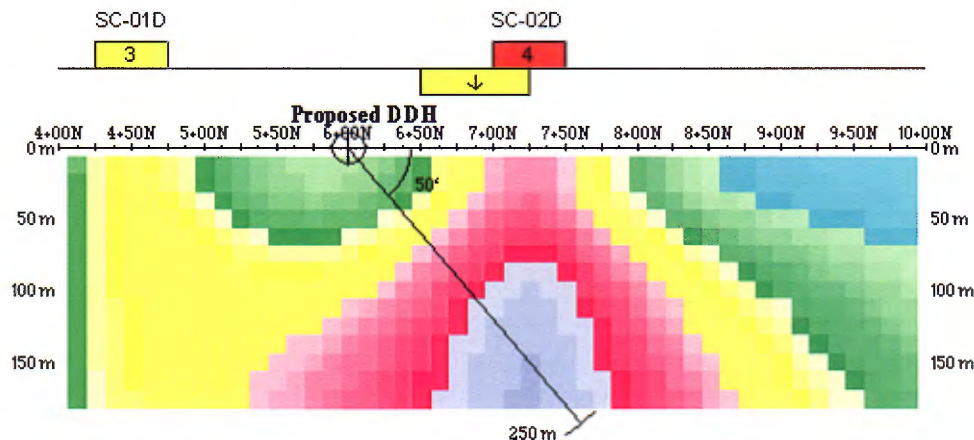
Les anomalies MEGATEM® identifiées sur la grille mais n'ayant pas répondu à la PP (0132, 0137) semblent expliquées par le mort-terrain. Quant aux très longs et mauvais conducteurs MEGATEM® s'étendant au sud de la grille de référence 06N979C, (0139, 0140, 0141) ils sont fort probablement de nature formationnelle.

Deux cibles intéressantes seraient à forer en première priorité :

SC-01D : semble représenter l'extension ouest de la zone Sabourin Creek. Seule la portion gisant en bordure des failles interprétées F-36 et F-37 ne semble pas avoir été forée. **Un sondage (conditionnel) est recommandé sur la ligne 41+00W.**



SC-02D : pourrait représenter l'extension est de l'indice Jolin, à tester par sondage sur la ligne 42+00W :



L'anomalie **SC-05** est la meilleure cible de seconde priorité; elle pourrait être investiguée par prospection sur la ligne 25+00W. Quant à **SC-02B**, une vérification des anciens sondages s'impose avant tout forage additionnel. Finalement, une extension du levé de PP vers l'ouest est requise pour mieux jauger le potentiel de **SC-02A**. Rappelons qu'une compilation de toutes les recommandations de première et seconde priorité est présentée au chapitre 7.

TABLEAU #3
Description des anomalies interprétées sur le bloc Sabourin Creek

Anomalie de P.P.	Localisation		Contraste		Extension longitudinale (Ouverte vers...) Azimut	Association magnétique	Association MégaTEM		Contexte géologique		Commentaires	Recommandations	Priorité
	Ligne	Station	Charg.	Rés.			Anomalie #	Conductance	Formation	Indices voisins			
					Pendage								
SC-01A	50+00W	5+50N	4	↓↓	> 100 m (l'ouest) 090°	Anomalie modérée coïncidente	0133 (centre) Forte Abrupt vers le sud	Basalte Zone Jolin Bourlamaque	Secteur déjà foré. Vérifier si une extension du levé PP vers l'ouest serait pertinente.	Anomalie probablement classifiée.	4		
	49+00W	5+50N	4	↓↓									
SC-01B	48+00W	6+25N	4	↓	300 m --- 060°	Anomalie modérée coïncidente	0133 (centre) Forte Abrupt vers le sud	Basalte Zone Jolin Bourlamaque	Signature de l'indice Jolin. Secteur déjà foré.	Anomalie probablement classifiée.	4		
	47+00W	6+75N	4	↓↓									
	46+00W	7+25N	4	↓↓									
SC-01C	45+00W	7+00N	4	↓↓	250 m --- 090°	Anomalie modérée coïncidente	0133 (est) Forte Abrupt vers le sud	Basalte Zone Jolin Bourlamaque	Extension de SC-01B à l'est de F35 .	Anomalie probablement classifiée.	4		
	44+00W	7+00N	4	↓↓									
SC-01D	43+00W	5+00N	2	-	1 400 m --- 080° à 100°	Anomalie modérée généralement concordante	0134 (ouest) Forte Abrupt vers le sud	Contact basalte / granodiorite Zone Sabourin Creek	Signature de la zone Sabourin Creek. Seule l'extrémité ouest, en bordure des failles interprétées F36 et F37 ne semble pas avoir été forée (à vérifier).	Sondage conditionnel ligne 41+00W.	1		
	42+00W	4+50N	3	-									
	41+00W	4+50N	4	↓↓									
	40+00W	4+50N	4	↓									
	39+00W	4+38N	4	↓↓									
	38+00W	4+38N	4	↓↓									
	37+00W	4+38N	2	↓									
	36+00W	4+00N	2	↓									
	35+00W	4+50N	2	↓									
	34+00W	4+50N	2	↓									
	33+00W	4+75N	3	↓↓									
	32+00W	5+00N	3	↓									
	31+00W	5+25N	4	↓									
30+00W	5+50N	4	↓↓										
SC-01E	29+00W	5+13N	3	↓	700 m --- 090°	Anomalie modérée concordante	0134 (est) Forte Abrupt vers l'ouest	Contact basalte / granodiorite Zone Sabourin Creek	Extension de SC-01D à l'est de F38 . Signature de la zone Sabourin Creek. Secteur déjà foré.	Anomalie probablement classifiée.	4		
	28+00W	5+00N	3	↓↓									
	27+00W	5+00N	3	↓↓									
	26+00W	5+00N	3	↓									
	25+00W	5+00N	3	↓↓									
	24+00W	5+00N	2	↓									
	22+00W	5+50N	?	-									

REÇU AU MRNP
06 MAI 2008
739123
DIRECTION DES TITRES MINIERES

TABLEAU #3
Description des anomalies interprétées sur le bloc Sabourin Creek

Anomalie de P.P.	Localisation		Contraste		Extension longitudinale (Ouverte vers...)	Association magnétique	Association MégaTEM		Contexte géologique		Commentaires	Recommandations	Priorité
	Ligne	Station	Charg.	Rés.			Anomalie #	Conductance	Formation	Indices voisins			
					Azimut	Pendage							
SC-02A	50+00W	6+75N	3	-	> 100 m (l'ouest) 090°	Anomalie modérée concordante	Aucune	Basalte	---	Associée à SC-02B et C.	Extension du levé PP vers l'ouest.	2	
	49+00W	6+75N	3	↓↓									
SC-02B	48+00W	7+75N	3	↓↓(R)	300 m	Aucune	Aucune	Basalte	---	Extension de SC-02A à l'est de F34. Subparallèle à SC-01B. Possiblement déjà forée (à vérifier).	Sondage conditionnel ligne 47+00W.	2	
	47+00W	8+13N	3	↓↓(R)	---								
	46+00W	8+63N	3	(R)	060°								
SC-02C	45+00W	8+25N	3	(R)	250 m	Flanc nord d'une anomalie modérée	Aucune	Basalte	---	Extension de SC-02B à l'est de F35. Subparallèle à SC-01C. Possiblement déjà forée (à vérifier).	Attendre le résultat de l'investigation de SC-02B.	4	
	44+00W	8+25N	3	(R)	090°								
SC-02D	43+00W	7+63N	4	↓	1 400 m	Anomalie modérée coïncidente à l'extrémité ouest seulement	0133 (est)	Basalte	---	L'horizon de l'indice Jolin (SC-01A, B et C) semble décalé vers le sud à l'est de F36 et se poursuivre en tant qu'horizon Sabourin Creek (SC-01D). Mais il pourrait aussi se poursuivre en tant que SC-02D, décalé vers le nord à l'est de F36. Les secteurs près de F37 ne semblent pas avoir été testés.	Sondage ligne 42+00W.	1	
	42+00W	7+25N	4	↓									
	41+00W	7+00N	3	↓									
	40+00W	7+38N	3	↓									
	39+00W	8+13N	3	↓									
	38+00W	8+13N	1	-									
	37+00W	8+00N	1	-									
	36+00W	8+00N	1	-									
	35+00W	8+00N	1	-									
	34+00W	8+00N	1	-									
	33+00W	7+75N	2	-									
	32+00W	7+50N	2	-									
	31+00W	7+25N	1	-									
30+00W	7+00N	1	-										
SC-02E	28+00W	6+00N	1	-	600 m	Aucune	Aucune	Basalte	---	Extension probable de SC-02D à l'est de F38.	Attendre les résultats de l'investigation de SC-02.	4	
	26+00W	6+25N	1	-	---								
	24+00W	6+50N	2	-	080°								
	22+00W	7+00N	1	-	---								
SC-03	41+00W	1+50N	2	(R)	300 m	Flanc sud d'une forte anomalie	0138	Sédiments	Sur l'horizon de l'indice CTZ	Cet axe anomalique semble avoir déjà été foré. Vérifier si ce sont les anomalies Input 3 à 4 canaux qui ont été forées et expliquées car l'anomalie PP n'est pas conductrice, au contraire elle est localisée dans un environnement résistif.	Vérifier les sondages existants.	3	
	40+00W	1+50N	2	(R)	---								
	39+00W	1+75N	2	(R)	080°								
	38+00W	2+00N	1	(R)	---								
SC-04	37+00W	6+25N	1	-	100 m	Aucune	Aucune	Basalte	---	Courte et très faible anomalie.	Abandon	5	
	36+00W	6+50N	?	-	080°								

REÇU AU MRNF
06 MAI 2008
739123
DIRECTION DES TITRES MINIERES

TABLEAU #3
Description des anomalies interprétées sur le bloc Sabourin Creek

Anomalie de P.P.	Localisation		Contraste		Extension longitudinale (Ouverte vers...) Azimut	Association magnétique	Association MégaTEM Anomalie # Conductance Pendage	Contexte géologique Formation Indices voisins	Commentaires	Recommandations	Priorité
	Ligne	Station	Charg.	Rés.							
SC-05	27+00W	10+38N	1	-	500 m --- 080°	Aucune	Aucune	Basalte -----	Possiblement associée à AKA-16 du bloc Akasaba (à l'est de F11). La source semble affleurante sur la ligne 25+00W.	Prospection ligne 25+00W.	2
	26+00W	10+63N	2	-							
	25+00W	10+88N	2	-							
	25+00W	14+38S	2	(R)							
	24+00W	11+13N	2	-							
	22+00W	Bout nord	1	-							
SC-06	20+00W	4+00N	2	-	600 m --- 090°	Anomalie modérée concordante à l'ouest	0136 Faible à modérée Sub-vertical	Contact granodiorite / basalte ---	Dans l'extension de l'horizon Sabourin Creek. Anomalie déjà forée; vérifier si elle est bien expliquée.	Anomalie probablement classifiée.	4
	18+00W	4+25N	1	-							
	16+00W	4+50N	?	-							
	14+00W	4+25N	?	-							
SC-07	20+00W	9+00N	?	-	> 800 m (l'est) 085° à 095°	Aucune	Aucune directe (0135 et 0183 au pourtour)	Basalte ---	Extension possible de SC-02E à l'est de F39. Vérifier les forages existants à l'est. Extension du levé PP vers l'est.	Attendre les résultats de l'investigation de SC-02D.	4
	18+00W	8+50N	1	-							
	16+00W	8+75N	?	-							
	14+00W	9+00N	1	-							
	12+00W	9+25N	1	-							
SC-08	18+00W	6+00N	?	-	200 m --- 075°	Forte anomalie concordante à l'ouest	0135 (discordante)	Basalte ---	Très faible et courte anomalie.	Abandon	5
	16+00W	6+75N	?	-							
SC-09	16+00W	Bout sud	2	(R)	> 800 m (l'est et l'ouest) 090°	Aucune	Aucune	Sédiments ---	Anomalie mal définie en bout de profils.	Extension du levé vers le sud, l'est et l'ouest.	1
	14+00W	Bout sud	3	(R)							
	12+00W	Bout sud	3	(R)							
	10+00W	Bout sud	3	(R)							
	8+00W	Bout sud	3	(R)							
SC-10	6+00W	4+25N	3	-	> 600 m (l'est) 075°	Aucune	0135 et 0184, mais discordantes	Andésite ---	Possiblement dans le prolongement ouest de l'horizon Akasaba.	Extension du levé vers l'est recommandé.	1
	8+00W	3+75N	3	-							
	10+00W	3+00N	2	-							
	12+00W	Bout nord	2	-							

LÉGENDE :

Chargeabilité

Augmentation

? = marginale
1 = faible
2 = modérée
3 = forte
4 = très forte

Résistivité

Augmentation

↑ = résistif
↑↑ = très résistif
(R) = large zone résistive

Diminution

↓ = conducteur ↓↓ = très conducteur



6.4 Bloc Akasaba

Le tableau 4 présente la description complète des 72 anomalies de PP relevés sur le bloc Akasaba. Règle générale, seules les anomalies PP montrant une baisse de résistivité associée (présentes surtout dans le secteur est) sont également associées à une anomalie MEGATEM®.

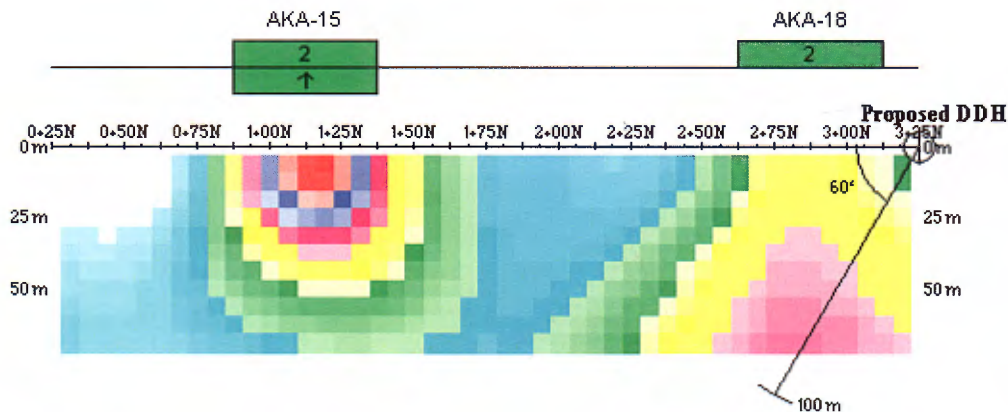
Outre certains vides dans le secteur ouest de ce bloc, la couverture PP est suffisamment complète pour permettre d'expliquer toutes les anomalies MEGATEM® n'ayant pas de contrepartie chargeable. Les anomalies MEGATEM® n'ayant pas été couvertes par PP sur ce bloc sont toutes de piètre qualité et ne justifient pas de travaux additionnels.

Quinze des 72 anomalies PP peuvent être considérées comme des cibles de première priorité.

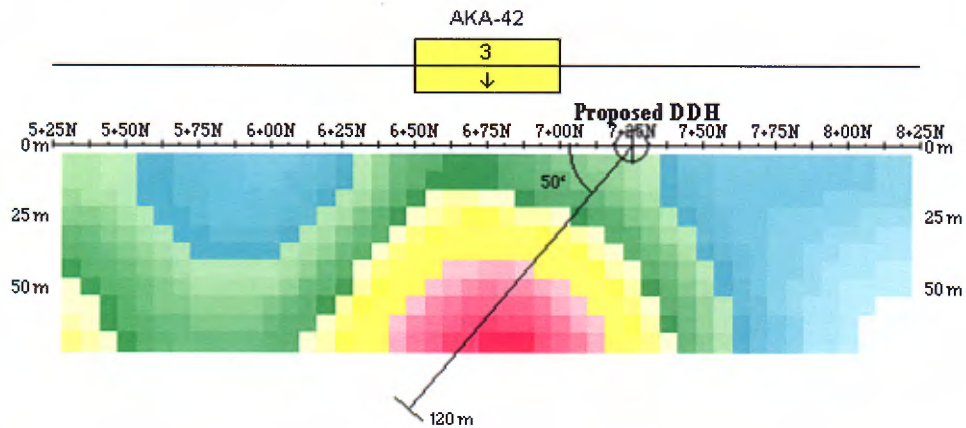
Deux d'entre elles (ainsi qu'une cible de seconde priorité) se trouvent dans le sous-bloc Faraday, à l'extrémité ouest (référence 06N679D). La qualité et la couverture du levé de PP y sont toutefois insuffisantes pour permettre de préciser des cibles de forage. La reprise et l'extension du levé PP vers l'est sur ce bloc est donc impérative.

Huit des 13 autres cibles prioritaires sur ce bloc justifient une investigation par sondage au diamant :

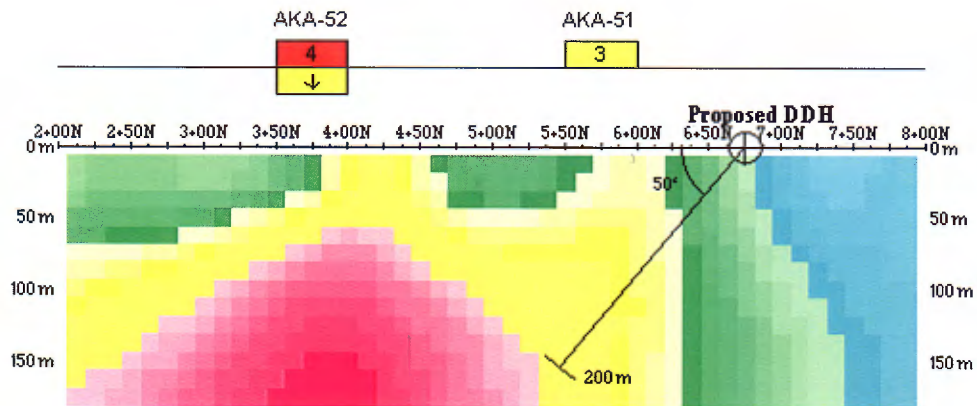
AKA-18 : source polarisable d'intensité modérée, non conductrice ni magnétique, et enfouie à plus de 25 m. **Sondage recommandé sur la ligne 15+00W :**



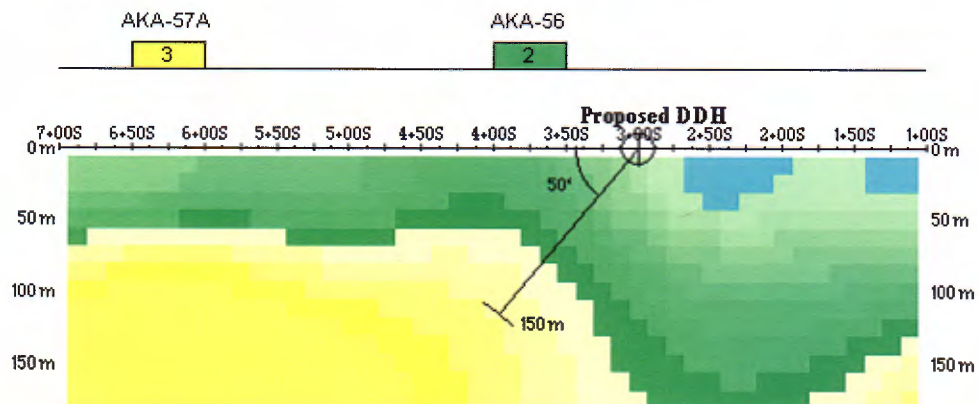
AKA-42 : également une source polarisable d'intensité modérée mais cette fois gisant dans un environnement conducteur faisant penser à un cisaillement. **Sondage recommandé sur la ligne 3+00E** :



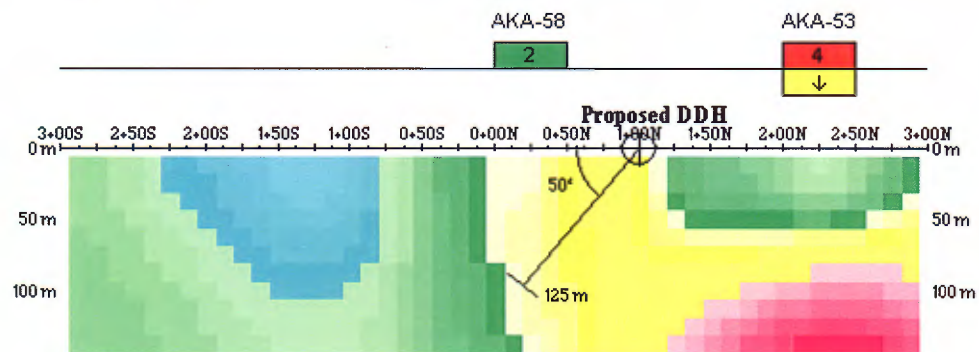
AKA-51 : très longue anomalie de source non affleurante (même où le roc semble affleurer entre 3+00E et 6+00E) qui se doit d'être testée à l'ouest (ligne 6+00W), près du centre (0+00) et à l'est (14+00E). Voici le **sondage recommandé initialement sur la ligne 6+00W** :



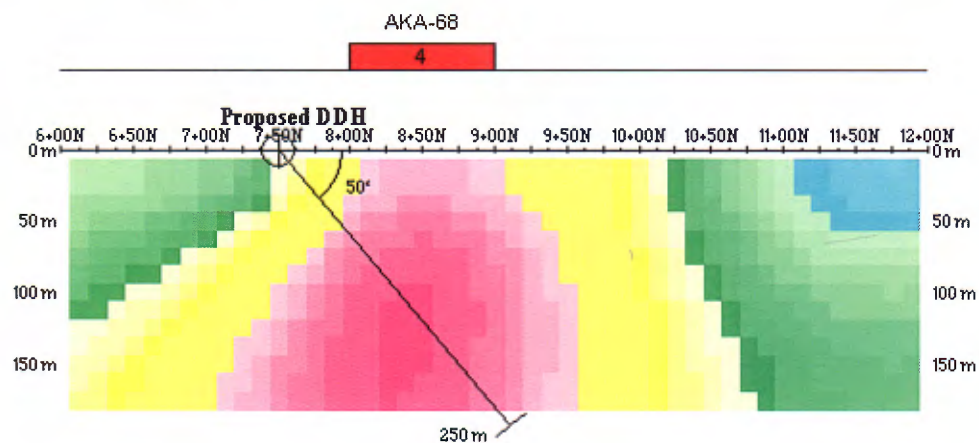
AKA-56 : de part sa signature géophysique cette cible a le potentiel d'une minéralisation de type Orenada en bordure de la faille de Cadillac. **Un sondage est recommandé sur la ligne 1+00E** :



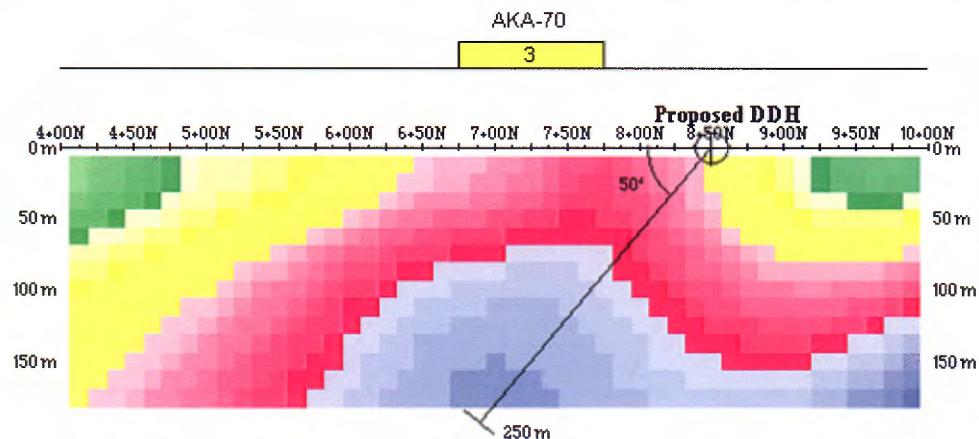
AKA-58 : montre également un potentiel pour une minéralisation de type Orenada. **À tester sur la ligne 12+00E** :



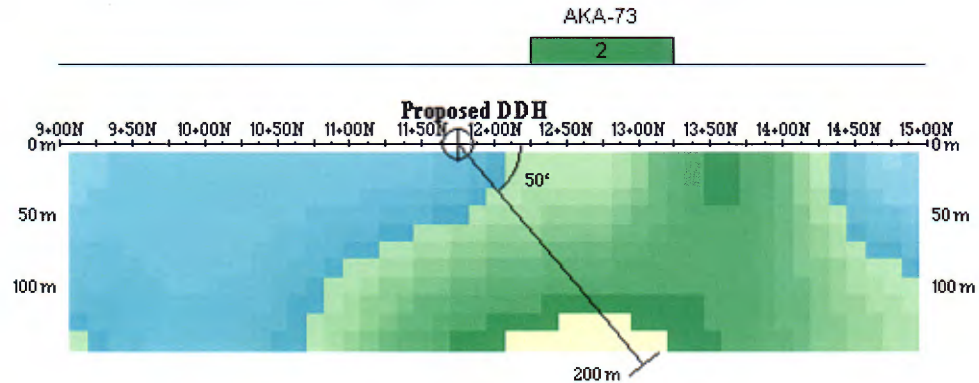
AKA-68 : Source très polarisable gisant dans un environnement résistif dans sa portion ouest à **sonder sur la ligne 54+00W** :



AKA-70 : à sonder dans la portion ouest (sur la ligne 46+00W) où cette source modérément à fortement polarisable "traverse" une masse résistive arrondie (intrusion?)



AKA-73 : source faiblement à modérément polarisable mais ni conductrice ni magnétique. **Un premier sondage est recommandé sur la ligne 34+00W :**



Les cinq autres cibles de première priorité pourrait être investiguées par **prospection** sur leur portion subaffleurante :

- AKA-26** : Lignes 6+00W et 1+00W
- AKA-30** : Ligne 4+00W
- AKA-32** : Ligne 0+00
- AKA-40** : Ligne 2+00E à 3+00E
- AKA-46** : Ligne 2+00E

Seize cibles de seconde priorité ont également été recensées sur le bloc Akasaba. Elles sont décrites en détail dans le tableau 4 de même que le suivi recommandé qui est également résumé au chapitre 7. Quant aux douze cibles de troisième priorité, le lecteur est prié de se rapporter au tableau 4 uniquement.

TABLEAU #4

Description des anomalies interprétées sur le bloc Akasaba

Anomalie de P.P.	Localisation		Contraste		Extension longitudinale (Ouverte vers...) Azimut	Association magnétique	Association Megatem	Contexte géologique	Commentaires	Recommandations	Priorité
	Ligne	Station	Charg.	Rés.			Anomalie #	Formation			
							Conductance	Indices voisins			
AKA-01 (Faraday)	54+00W	6+25S	?	-	> 1 000 m	Flanc nord d'une faible anomalie	0129 (extrémité est seulement) Faible Indéterminé	Contact dacite / andésite	Levé de décembre 2004 très bruiteux. Amplitude en chargeabilité maximale sur la dernière ligne à l'est.	Reprise du levé PP et extension de la couverture vers l'est.	1
	52+00W	5+25S	1	-	(l'est)						
	50+00W	4+00S	1	-	065°						
	48+00W	3+25S	1	-							
	46+00W	2+50S	1	-							
	44+00W	2+00S	2	-							
AKA-02 (Faraday)	50+00W	5+50S	?	-	400 m(?)	Aucune	Aucune	Dacite Faraday, 100 m au sud	Levé de décembre 2004 très bruiteux. Anomalie mal définie, voire douteuse.	Reprise du levé PP.	2
	46+00W	4+25S	1	-	070°						
AKA-03 (Faraday)	48+00W	6+75S	1	-	> 400 m	Flanc nord d'une forte anomalie	0081 Faible (W) à modérée (E) Abrupt vers le sud	Contact dacite / gabbro Faraday, 100 m au sud	Levé de décembre 2004 très bruiteux. Contexte géologique intéressant. L'anomalie MegaTEM augmente en qualité à l'est de la grille PP.	Reprise du levé PP et extension de la couverture vers l'est.	1
	46+00W	6+75S	1	-	(l'est)						
	44+00W	6+00S	1	-	080° à 090°						
AKA-11	27+00W	12+75S	2	(R)	> 500 m	Coïncidente avec une anomalie modérée	Aucune	Basalte Goldora South	Subaffleurante au centre. L'amplitude de la réponse PP s'accroît vers l'est où l'anomalie se fond sur AKA-13.	Prospection recommandée sur ligne 23+00W. Extension du levé PP vers l'ouest.	2
	26+00W	12+63S	1	-	(l'ouest)						
	25+00W	12+50S	2	(R)							
	24+00W	12+38S	2	(R)							
	23+00W	12+00S	3	(R)	060° à 080°						
	22+00W	11+25S	3	(R) ↑							
AKA-12	27+00W	10+25S	1	-	? (l'ouest) ?	Faible anomalie	Aucune	Contact dacite / basalte? Goldora South	Intérêt à préciser.	Extension du levé PP vers l'ouest.	3
AKA-13	25+00W	11+25S	2	-	700 m	Flanc nord (ouest) et sud (est) d'une anomalie modérée	0131 (est) Modérée Sub-vertical	Basalte Goldora South	Entre deux failles interprétées (F38 et F11). Secteur déjà foré. Potentiel résiduel à confirmer après étude des sondages existants avant de forer à nouveau.	Sondage conditionnel sur ligne 23+00W.	4
	24+00W	11+13S	4	-							
	23+00W	10+88S	4	-							
	22+00W	10+69S	3	-							
	21+00W	10+50S	2	-							
	20+00W	10+50S	2	-							
	19+00W	10+63S	1	-	080° à 090°						
	18+00W	10+75S	?	-							

REÇU AU MRNF

06 MAI 2008

739/23
DIRECTION DES TITRES MINIERES

TABLEAU #4
Description des anomalies interprétées sur le bloc Akasaba

Anomalie de P.P.	Localisation		Contraste		Extension longitudinale (Ouverte vers...) Azimut	Association magnétique	Association Megatem	Contexte géologique	Commentaires	Recommandations	Priorité
	Ligne	Station	Charg.	Rés.			Anomalie #	Formation			
							Conductance	Indices voisins			
AKA-14	20+00W	1+25S	2	↑	> 1 700 m	Coincidente avec une anomalie modérée à forte	Aucune	Gabbro	Réponse formationnelle? L'intensité s'accroît vers l'est où la source est subaffleurante.	Prospection ligne 5+00W	3
	19+00W	1+25S	?	↑							
	18+00W	1+00S	1	↑							
	17+00W	0+75S	1	-							
	16+00W	0+75S	?	↑							
	15+00W	0+50S	?	↑							
	14+00W	0+50S	?	-							
	13+00W	0+25S	?	-							
	12+00W	0+13N	1	-							
	11+00W	0+25N	1	-							
	10+00W	0+38N	1	-							
	9+00W	0+56N	1	-							
	8+00W	0+75N	1	-							
	7+00W	0+75N	3	(R)							
	6+00W	0+88N	3	(R)							
5+00W	1+00N	4	(R)								
	4+00W	1+25N	3	(R)	080°						
	3+00W	1+38N	2	(R)							
AKA-15	20+00W	0+00N	3	↑	> 600 m	Flanc nord d'une anomalie modérée à forte	0125	Dacite	Source résistive et polarisable. Réponse maximale à l'extrémité ouest.	Prospection lignes 18+00W et 17+00W. Extension du levé PP vers l'ouest.	2
	19+00W	0+00N	1	↑							
	18+00W	0+38N	2	↑↑							
	17+00W	0+50N	2	↑↑							
	16+00W	0+75N	2	↑							
	15+00W	1+13N	2	↑							
	14+00W	1+38N	1	↑							
					080°						
AKA-16	18+00W	13+00S	1	-	> 600 m	Flanc sud d'une forte anomalie	Aucune	Basalte	Extension probable de SC-05 à l'est de la faille interprétée F11. Continuité incertaine (lignes 14+00W et 15+00W, pénétration déficiente).	Reprise et extension du levé PP en configuration pôle-dipôle a = 25 m.	3
	17+00W	13+25S	?	-							
	16+00W	13+25S	?	-							
	13+00W	13+75S	?	↑							
	12+00W	13+75S	1	↑							
					100°						
AKA-17	18+00W	4+75S	?	↑	600 m	Aucune	Aucune	Intrusion felsique à intermédiaire	Source polarisable et résistive subaffleurante au centre. Bornée à l'est par la faille interprétée F10.	Prospection lignes 16+00W et 15+00W.	2
	17+00W	4+88S	1	↑							
	16+00W	5+13S	2	↑							
	15+00W	4+63S	2	↑							
	14+00W	4+38S	1	↑							
	13+00W	4+00S	1	-							
	12+00W	4+00S	1	-							
					080° à 095°						

REÇU AU MRNF
06 MAI 2008
139123
DIRECTION DES TITRES MINIERES

TABLEAU #4
Description des anomalies interprétées sur le bloc Akasaba

Anomalie de P.P.	Localisation		Contraste		Extension longitudinale (Ouverte vers...) Azimut	Association magnétique	Association Megatem	Contexte géologique	Commentaires	Recommandations	Priorité
	Ligne	Station	Charg.	Rés.			Anomalie #	Formation			
					Conductance	Indices voisins					
AKA-18	18+00W	2+63N	1	-	> 700 m	Aucune	Aucune	Andésite	Source polarisable modérée non affleurante.	Sondage ligne 15+00W. Extension du levé PP vers le nord-est.	1
	17+00W	2+75N	?	-							
	16+00W	2+75N	2	-							
	15+00W	2+88N	2	-	(le nord-est)						
	14+00W	2+88N	2	-							
	13+00W	Bout nord	1	-							
	12+00W	3+00N	1	-	085°						
11+00W	Bout nord	1	-								
AKA-19	14+00W	1+75S	?	↑	100 m	Anomalie modérée concordante	0126 Faible à modérée Indéterminée	Dacite	Anomalie causée par un amincissement local du recouvrement.	Abandon	5
	13+00W	1+75S	1	↑	--- 090°						
AKA-20	13+00W	2+88S	2	↑	100 m	Aucune	Aucune	Intrusion felsique à intermédiaire	Anomalie possiblement causée par un amincissement local du recouvrement.	Prospection ligne 12+00W.	3
	12+00W	3+13S	2	↑↑	--- 100°						
AKA-21	12+00W	7+00S	1	↑	300 m	Coincidente avec une forte anomalie	Aucune	Basalte	À cheval sur la faille interprétée F11. Source très polarisable et résistive, subaffleurante.	Prospection ligne 10+00W.	2
	11+00W	7+00S	3	↑							
	10+00W	6+63S	4	↑↑							
	9+00W	6+75S	4	↑							
AKA-22	8+00W	7+25S	4	(R)	700 m	Coincidente avec une forte anomalie	Aucune	Basalte	En bordure sud d'une large zone résistive. Secteur déjà très foré. Potentiel résiduel à confirmer après étude des sondages existants, avant de forer à nouveau.	Sondage conditionnel sur ligne 3+00W.	4
	7+00W	7+25S	4	(R)							
	6+00W	6+75S	3	(R)							
	5+00W	6+63S	4	(R)	---						
	4+00W	6+25S	4	(R)							
	3+00W	6+13S	4	(R)	080°						
	2+00W	6+13S	4	(R) ↓							
1+00W	6+00S	4	(R)								
AKA-23	10+00W	4+88S	2	(R)	100 m	Aucune	Aucune	Basalte	Extension de AKA-24 à l'ouest de la faille interprétée F11?	Attendre le résultat de l'investigation de AKA-24.	4
	9+00W	4+75S	3	(R)	--- 085°						
AKA-24	9+00W	5+63S	3	(R)	400 m	Forte anomalie coincidente	(Entre 0179 et 0180)	Basalte	Source polarisable et conductrice dont la signature est voilée par les anomalies voisines. Secteur déjà très foré. Potentiel résiduel à confirmer après étude des sondages existants avant de forer à nouveau.	Sondage conditionnel ligne 8+00W.	4
	8+00W	6+00S	4	(R) ↓							
	7+00W	6+38S	3	(R) ↓	---						
	6+00W	6+00S	3	(R) ↓							
	5+00W	6+00S	3	(R) ↓	090° à 110°						

REÇU AU MRNF
06 MAI 2008
729123
DIRECTION DES TITRES MINIERES

Anomalie de P.P.	Localisation		Contraste		Extension longitudinale (Ouverte vers...) Azimut	Association magnétique	Association Megatem	Contexte géologique	Commentaires	Recommandations	Priorité
	Ligne	Station	Charg.	Rés.			Anomalie #	Formation			
							Conductance	Indices voisins			
AKA-25	9+00W	3+75S	3	(R)	600 m	Anomalie faible à modérée coïncidente	Aucune	Contact basalte / intrusif felsique à intermédiaire	Localisée au centre d'une large zone résistive, à cheval sur la faille interprétée F11. Secteur déjà très foré. Potentiel résiduel à confirmer après étude des sondages existants avant de forer à nouveau.	Sondage conditionnel ligne 7+00W.	4
	8+00W	3+50S	3	(R)							
	7+00W	3+88S	4	(R)	---						
	6+00W	3+75S	4	(R)							
	5+00W	3+63S	4	(R)							
	4+00W	3+88S	2	(R)							
	3+00W	3+63S	2	(R)							
AKA-26	8+00W	1+88S	3	(R)	> 800 m	Forte anomalie concordante	Aucune	Basalte	Localisée en bordure nord d'une large zone résistive, à cheval sur la faille interprétée F11.	Prospection lignes 6+00W et 1+00W. Extension du levé PP vers l'est.	1
	7+00W	1+75S	3	(R)							
	6+00W	1+38S	4	(R) ↓	(l'est)						
	5+00W	1+25S	1	(R)							
	3+00W	0+75S	3	(R)							
	2+00W	0+63S	3	(R)							
	1+00W	0+25S	3	(R)							
	0+00E	0+00N	3	(R)							
AKA-27	7+00W	5+38S	4	(R)	< 100 m ---- ?	Forte anomalie	Aucune	Basalte ---	Pourrait être associée à AKA-24 ou AKA-27.	Prospection.	3
AKA-28	6+00W	4+50S	4	(R)	> 600 m	Forte anomalie concordante à l'est seulement	Aucune	Contact basalte / intrusion felsique à intermédiaire	Localisée au sein d'une large zone résistive. Secteur déjà très foré. Potentiel résiduel à confirmer après étude des sondages existants avant de forer à nouveau.	Sondage conditionnel ligne 4+00W.	4
	5+00W	4+50S	4	(R)							
	4+00W	4+88S	4	(R)	(l'est)						
	3+00W	4+63S	2	(R)							
	2+00W	4+25S	4	(R)							
	1+00W	3+75S	3	(R)							
	0+00E	3+38S	2	(R)							
AKA-29	6+00W	0+00N	2	(R)	300 m	Aucune concordance	Aucune	Contact dacite / gabbro	Se bute sur la faille interprétée F11 à l'est.	Prospection ligne 3+00W.	2
	5+00W	0+00N	1	(R)	---						
	4+00W	0+00N	2	(R)	090°						
	3+00W	0+25N	3	(R)	---						
AKA-30	5+00W	2+63S	1	↓(R)	300 m	Sur le flanc nord d'une anomalie modérée	(Faible anomalie isolée)	Basalte – intrusion felsique à intermédiaire	Extension possible de AKA-26 à l'est de la faille interprétée F11. Source subaffleurance sur 4+00W.	Prospection ligne 4+00W.	1
	4+00W	2+75S	4	↓(R)	---						
	3+00W	2+88S	3	↓(R)	095°						
	2+00W	3+00S	3	(R)	El Sol						
AKA-31	2+00W	7+38S	4	-	> 200 m	Forte anomalie mais non concordante	0179 (discordante)	Basalte	Probablement associée à AKA-22. Secteur déjà très foré.	Extension du levé PP vers l'est.	3
	1+00W	6+75S	4	-	(l'est)						
	0+00E	6+13S	3	-	060°			Zone #1			

REÇU AU MRNF
06 MAI 2008
139173
DIRECTION DES TITRES MINIERES

TABLEAU #4

Description des anomalies interprétées sur le bloc Akasaba

Anomalie de P.P.	Localisation		Contraste		Extension longitudinale (Ouverte vers...) Azimut	Association magnétique	Association Megatem	Contexte géologique	Commentaires	Recommandations	Priorité
	Ligne	Station	Charg.	Rés.			Anomalie #	Formation			
							Conductance	Indices voisins			
AKA-32	2+00W	1+88S	3	(R)	> 200 m	Entre deux fortes anomalies	Aucune	Intrusion felsique à intermédiaire	Possiblement associée à AKA-30.	Prospection ligne 0+00E. Extension du levé PP vers l'est.	1
	1+00W	1+63S	3	(R)	(l'est)						
	0+00E	1+75S	4	(R)↓	090°						
AKA-33	1+00W	5+25S	3	↓	> 100 m	Aucune	0179 (discordante)	Basalte Zone #1	Reliée à AKA-22? Signature voilée par les anomalies voisines.	Extension du levé PP vers l'est.	3
	0+00E	5+00S	2	-	(l'est) 080°						
AKA-34	0+00E	1+00S	3	(R)	? (l'est) ?	Aucune	Aucune	Intrusion felsique à intermédiaire	Signature voilée par les anomalies voisines.	Extension du levé PP vers l'est.	3
AKA-40	100+30E	102+75N	4	(R)	> 600 m (l'ouest et l'est) 080°	Faible anomalie discontinue	Aucune	Basalte Akasaba (au sud)	Forte anomalie PP dans un milieu résistif.	Prospection lignes 2+00E à 3+00E. Extension du levé PP vers l'est et l'ouest.	1
	101+20E	103+00N	3	(R)							
	1+00E	1+25N	3	(R)							
	2+00E	1+38N	3	(R)							
	103+00E	103+00N	2	(R)							
	3+00E	1+75N	4	(R)							
	106+00E	103+00N	2	-							
AKA-41	1+00E	5+50N	3	↓	> 300 m (l'ouest et l'est) 090°	Faible anomalie coïncidente	0181 Forte Indéterminé	Gabbro	Anomalie déjà forée. Potentiel résiduel à confirmer après étude des sondages existants avant de forer à nouveau.	Sondage conditionnel ligne 3+00E.	4
	2+00E	5+25N	2	↓							
	3+00E	5+13N	2	↓							
	4+00E	5+13N	2	↓							
AKA-42	1+00E	6+75N	3	↓	> 300 m (l'ouest et l'est) 090°	Anomalie modérée coïncidente	Aucune	Gabbro	Source polarisable dans un environnement conducteur (cisaillement?).	Sondage ligne 3+00E. Extension du levé PP.	1
	2+00E	6+88N	3	↓							
	3+00E	6+75N	3	↓							
	4+00E	6+50N	2	-							
AKA-43A	1+00E	9+75N	4	(R)	> 300 m (l'ouest et l'est)	Aucune	0179 (est) Modérée	Basalte	Continuité incertaine car il n'y a pas de réponse PP sur la ligne 3+00E. Secteur déjà intensément foré. Potentiel résiduel à confirmer après étude des sondages existants avant de forer à nouveau.	Sondage conditionnel ligne 1+00E.	4
	2+00E	10+13N	3	(R)							
AKA-43B	4+00E	9+13N	3	(R)	075° à 105°		Abrupt vers le sud				
AKA-44A	1+00E	11+13N	4	(R)↓	> 300 m (l'ouest et l'est) 100°	Forte anomalie coïncidente	Aucune	Gabbro	Analogue à AKA-43A et B. Secteur déjà intensément foré. Potentiel résiduel à confirmer après étude des sondages existants avant de forer à nouveau.	Sondage conditionnel ligne 1+00E.	4
	2+00E	11+00N	3	(R)							
	3+00E	10+75N	3	(R)							
AKA-44B	4+00E	10+13N	4	(R)							
AKA-45	1+00E	13+38N	2	(R)	> 100 m (l'ouest et l'est) 055°	Flanc sud d'une anomalie évasive	Aucune	Basalte - intrusion felsique à intermédiaire	Signature à préciser.	Extension du levé PP.	2
	2+00E	13+88N	3	(R)							

REÇU AU MRNF
06 MAI 2008
739123
DIRECTION DES TITRES MINÉRIERS

TABLEAU #4
Description des anomalies interprétées sur le bloc Akasaba

Anomalie de P.P.	Localisation		Contraste		Extension longitudinale (Ouverte vers...) Azimut	Association magnétique	Association Megatem	Contexte géologique	Commentaires	Recommandations	Priorité
	Ligne	Station	Charg.	Rés.			Anomalie #	Formation			
							Conductance	Indices voisins			
AKA-46	2+00E	2+75N	3	(R)	200 m	Aucune	Aucune	Gabbro	Anomalie PP modérée en bordure nord de la zone résistive renfermant AKA-40.	Prospection ligne 2+00E.	1
	103+00E	104+00N	3	(R)							
	3+00E	2+75N	3	(R)							
	103+90E	104+00N	3	(R)							
	4+00E	2+75N	2	(R)							
105+00E	104+00N	2	(R)	085°							
AKA-47	3+00E	12+25N	1	-	> 100 m (l'est)	Aucune	Aucune	Basalte	Au sein d'un domaine résistif, en bordure de la faille interprétée F12. Source non affleurante.	Extension du levé PP vers l'est.	2
	4+00E	12+75N	2	-	065°						
AKA-48	3+00E	13+13N	2	-	> 100 m (l'est)	Flanc sud d'une forte anomalie	Aucune	Intrusion felsique à intermédiaire	Au sein d'un domaine résistif, en bordure de la faille interprétée F12. Source non affleurante.	Extension du levé PP vers l'est.	2
	4+00E	13+63N	2	-	065°						
AKA-51	8+00W	6+25N	2	-	> 2 600 m (l'ouest)	Sur le flanc sud d'une anomalie modérée	0188 (w) Modérée Indéterminé	Basalte	Roc subaffleurant de 3+00E à 6+00E, mais la source chargeable n'est jamais affleurante. S'étend ~ 250 m à l'est de la faille cartographie F18. De 6+00E à 12+00E (levé hiver 2004), l'amplitude des anomalies semble rehaussée par du bruit (non géologique).	Sondages lignes 6+00W 0+00E et 14+00E. Extension du levé vers l'ouest.	1
	7+00W	6+00N	3	-							
	6+00W	5+75N	3	-							
	5+00W	5+50N	3	-							
	4+00W	5+50N	2	-							
	3+00W	5+50N	1	-							
	2+00W	5+75N	2	-							
	1+00W	6+00N	2	-							
	0+00E	6+25N	3	-							
	1+00E	6+25N	3	-							
	2+00E	6+25N	2	-							
	3+00E	6+00N	2	(R)							
	4+00E	5+75N	2	(R)							
	5+00E	5+75N	2	(R)							
	6+00E	5+75N	2	(R)							
	8+00E	6+00N	3	↓							
	10+00E	5+75N	4	↓							
	12+00E	5+25N	4	-							
14+00E	5+00N	3	-								
16+00E	4+75N	3	-								
18+00E	4+50N	3	↓								
18+00E	9+25N	3	-	080° à 100°		Subvertical					

REÇU AU MRNF
06 MAI 2008
139/23
DIRECTION DES TITRES MINIERES

TABLEAU #4
Description des anomalies interprétées sur le bloc Akasaba

Anomalie de P.P.	Localisation		Contraste		Extension longitudinale (Ouverte vers...) Azimut	Association magnétique	Association Megatem	Contexte géologique	Commentaires	Recommandations	Priorité
	Ligne	Station	Charg.	Rés.			Anomalie #	Formation			
							Conductance	Indices voisins			
AKA-52	8+00W	4+00N	4	↓↓	> 1 000 m (l'ouest) 095°	Coïncidente avec une anomalie modérée	0189	Contact basalte – andésite / sédiments	Source très polarisable et conductrice attribuable à des argilites graphiteuses de la faille de Cadillac. Axe anomalique déjà forée. Aucune cible distinctive à suggérer.	Anomalie probablement classifiée.	4
	7+00W	3+75N	4	↓↓							
	6+00W	3+75N	4	↓							
	5+00W	3+50N	4	↓							
	4+00W	3+75N	4	↓							
	3+00W	3+75N	4	↓							
	2+00W	3+50N	4	↓							
	1+00W	3+25N	4	↓↓							
	0+00E	3+38N	4	↓↓							
	1+00E	3+50N	4	↓↓							
2+00E	3+25N	4	↓↓								
AKA-53	8+00W	Bout sud	2	-	> 2 800 m (l'ouest) 080° à 090°	Sur le flanc nord d'une forte anomalie	0190	Sédiments	Source très conductrice et polarisable attribuable à des argilites graphiteuses de la faille de Cadillac. Axe anomalique déjà foré. Aucune cible distinctive à suggérer.	Anomalie probablement classifiée.	4
	7+00W	Bout sud	3	-							
	6+00W	Bout sud	4	-							
	5+00W	Bout sud	4	↓							
	4+00W	Bout sud	4	↓							
	3+00W	Bout sud	4	↓							
	2+00W	Bout sud	4	↓							
	1+00W	Bout sud	4	↓↓							
	0+00E	1+00N	4	↓↓							
	1+00E	1+50N	4	↓↓							
	2+00E	1+75N	4	↓↓							
	3+00E	2+00N	4	↓↓							
	4+00E	2+00N	4	↓↓							
	5+00E	2+25N	4	↓							
	6+00E	2+25N	4	↓↓							
	8+00E	2+25N	4	↓↓							
	10+00E	2+25N	4	↓							
	12+00E	2+25N	4	↓							
	14+00E	2+13N	3	↓↓							
	16+00E	2+00N	3	↓↓							
18+00E	2+25N	4	↓↓								
18+00E	7+00N	4	-								
20+00E	7+00N	3	↓↓								

REÇU AU MRNF
05 MAI 2008
139123
DIRECTION DES TITRES MINIERES

TABLEAU #4
Description des anomalies interprétées sur le bloc Akasaba

Anomalie de P.P.	Localisation		Contraste		Extension longitudinale (Ouverte vers...) Azimut	Association magnétique	Association Megatem	Contexte géologique	Commentaires	Recommandations	Priorité
	Ligne	Station	Charg.	Rés.			Anomalie #	Formation			
					Conductance	Indices voisins					
AKA-54	5+00W	8+00N	?	(R)	300 m	Sur le flanc sud d'une anomalie modérée	Aucune	Contact gabbro / basalte	Très faible anomalie dans un environnement résistif.	Abandon	5
	4+00W	8+50N	?	(R)	---						
	3+00W	8+50N	?	(R)	090°						
	2+00W	8+50N	?	(R)	---						
AKA-55	1+00W	9+75N	?	(R)	300 m	Sur le flanc nord de la même anomalie MAG que AKA-54	Aucune	Basalte	Très faible anomalie dans un environnement résistif.	Abandon	5
	0+00E	9+50N	?	(R)	---						
	1+00E	9+25N	?	(R)	095°						
	2+00E	9+25N	?	(R)	---						
AKA-56	0+00E	3+75S	2	-	> 2 000 m (l'ouest) 085°	Aucune	Faible	Sédiments	Très faible réponse en chargeabilité qui augmente toutefois vers l'ouest. Source non conductrice. Possibilité d'une minéralisation de type Orenada en bordure de la faille de Cadillac.	Sondage ligne 1+00E. Extension du levé vers l'ouest.	1
	1+00E	3+75S	2	-							
	2+00E	3+75S	1	-							
	3+00E	3+75S	1	-							
	4+00E	3+75S	1	-							
	5+00E	3+50S	1	-							
	6+00E	3+50S	?	-							
	8+00E	3+50S	?	-							
	10+00E	3+00S	1	-							
	12+00E	2+75S	?	-							
	14+00E	2+75S	?	-							
	16+00E	2+50S	1	-							
	18+00E	2+50N	1	-							
	18+00E	2+25S	?	-							
20+00E	2+75N	?	-								
						Indéterminé	---				

REÇU AU MRNF
06 MAI 2008
139123
DIRECTION DES TITRES MINIERES

TABLEAU #4
Description des anomalies interprétées sur le bloc Akasaba

Anomalie de P.P.	Localisation		Contraste		Extension longitudinale (Ouverte vers...) Azimut	Association magnétique	Association Megatem	Contexte géologique	Commentaires	Recommandations	Priorité
	Ligne	Station	Charg.	Rés.			Anomalie #	Formation			
							Conductance	Indices voisins			
AKA-57A	0+00E	6+25S	4	↓	> 3 800 m (l'est et l'ouest)	Coïncidente avec une faible anomalie	0193 (extrémité est) Modérée Subvertical	Sédiments	Bornée par les failles cartographiées F18 à l'ouest et F20 à l'est. Conducteur formationnel graphitique lié à la faille de Cadillac. Aucune cible distinctive à suggérer.	Anomalie probablement classifiée.	4
	1+00E	6+25S	3	↓							
	2+00E	6+25S	3	↓							
	3+00E	6+25S	3	↓							
	4+00E	6+25S	2	↓							
	5+00E	6+00S	2	↓							
	6+00E	5+75S	2	↓							
	8+00E	5+50S	2	↓							
	10+00E	5+50S	2	-							
	12+00E	5+50S	2	-							
	14+00E	5+38S	3	↓							
	16+00E	5+00S	3	↓							
	18+00E	5+00S	3	↓							
	20+00E	0+00N	4	↓							
	28+00E	0+75N	4	↓↓							
30+00E	0+75N	4	↓↓								
32+00E	0+75N	3	↓↓								
34+00E	0+75N	3	↓↓								
36+00E	0+50N	3	-								
38+00E	0+25N	2	-								
AKA-57B	38+00E	2+00S	3	↓↓	> 1 400 m (l'est)	Coïncidente avec une anomalie modérée	0238	Contact sédiments / basalte - andésite	Extension à l'est de F-20 du conducteur formationnel AKA-57A. Aucune cible distinctive à suggérer.	Anomalie probablement classifiée.	4
	40+00E	1+88S	2	↓↓							
	42+00E	2+63S	2	↓							
	44+00E	2+88S	3	↓↓							
	46+00E	2+75S	3	↓↓							
	48+00E	2+38S	2	↓↓							
	50+00E	3+13S	3	↓↓							
52+00E	3+38S	3	↓↓								
AKA-57C	66+00W	8+75N	4	↓	800 m --- 115°	Coïncidente avec une anomalie modérée à forte	0269	Contact sédiments / basalte - andésite	Extension à l'est de F21 du conducteur formationnel AKA-57B. Aucune cible distinctive à suggérer.	Anomalie probablement classifiée.	4
	64+00W	7+50N	4	↓↓							
	62+00W	6+00N	3	↓↓							
	60+00W	5+50N	4	↓↓							
	58+00W	5+50N	1	-							
	56+00W	5+25N	?	-							
	54+00W	4+75N	1	-							

REÇU AU MRNF
06 MAI 2008
739123
DIRECTION DES TITRES MINIERES

TABLEAU #4
Description des anomalies interprétées sur le bloc Akasaba

Anomalie de P.P.	Localisation		Contraste		Extension longitudinale (Ouvrte vers...) Azimut	Association magnétique	Association Megatem	Contexte géologique	Commentaires	Recommandations	Priorité
	Ligne	Station	Charg.	Rés.			Anomalie #	Formation			
					Conductance		Indices voisins				
AKA-58	8+00E	0+00N	1	-	600 m	Coincidente avec une forte anomalie fonctionnelle	Isolée sur ligne 12+00E	Sédiments	Bornée à l'ouest par F18. Anomalie mal définie (levé novembre 2004) à cause du bruit (non géologique). Au sud d'une bande graphiteuse. Minéralisation de type Orenada?	Sondage ligne 12+00E.	1
	10+00E	0+50N	1	-	---						
	12+00E	0+25N	2	-	~ 090°						
	14+00E	0+25S	1	-	---						
AKA-59	8+00E	9+00S	2	(R)	> 1 200 m	Aucune	Aucune	Sédiments	Source polarisable dans un environnement résistif. Porphyre? Source affleurante sur ligne 20+00E.	Prospection ligne 20+00E.	2
	10+00E	8+75S	2	(R)				---			
	12+00E	8+75S	1	(R)				---			
	14+00E	9+25S	?	(R)				---			
	16+00E	9+75S	1	(R)				---			
	18+00E	10+00S	2	(R)				---			
	20+00E	4+88S	2	(R)				~ 090°			
28+00E (?)	4+75S	1	(R)	---							
AKA-60	16+00E	8+00N	?	-	400 m	Locale et faible	Aucune	Basalte	Très faible anomalie peu prometteuse.	Abandon	5
	18+00E	8+75N	?	-	---						
	20+00E	13+00N	?	-	075° à 100°						
AKA-61	28+00E	4+75N	2	↓	> 1 000 m	Coincidente avec une faible anomalie	0233	Sédiments	Attribuable aux argilites graphiteuses de la faille de Cadillac? Extension probable de AKA-53.	Anomalie probablement classifiée.	4
	30+00E	5+25N	3	↓				(l'est et l'ouest)			
	32+00E	5+13N	3	↓				---			
	34+00E	4+50N	3	-				080° à 105°			
	36+00E	3+75N	3	-				Subvertical			
AKA-62A	28+00E	2+00S	?	-	800 m	Sur le flanc sud d'une anomalie modérée	Aucune	Sédiments	Dans l'extension ouest de AKA-57B, mais de signature distincte. Semble plutôt constituer le prolongement de AKA-62B à l'ouest de F20.	Levé PP de détail avec dipôles de 25 m.	2
	30+00E	2+50S	1	-				(l'ouest)			
	32+00E	2+50S	?	-				---			
	34+00E	2+75S	2	-				080° à 100°			
AKA-62B	36+00E	5+75S	1	-	1 400 m	Sur le flanc sud d'une anomalie modérée	Aucune	Sédiments	Probablement l'extension de AKA-62A à l'est de F20. Anomalie mal définie à cause de la proximité de AKA-57B.	Levé de détail avec dipôles de 25 m. Sondage probable ligne 46+00E.	2
	38+00E	5+50S	2	-				---			
	40+00E	5+25S	1	-				---			
	42+00E	5+25S	?	-				---			
	44+00E	5+75S	1	-				---			
	46+00E	6+25S	3	-				---			
	48+00E	7+00S	2	-				080° à 100°			
50+00E	7+25S	2	-	---							
AKA-63	30+00E	Bout sud	1	↑	100 m	Aucune	Aucune	Sédiments	Anomalie mal définie en bout de ligne.	Extension du levé vers le sud.	3
	32+00E	Bout sud	1	↑	090°						

REÇU AU MRNF
06 MAI 2008
739123
DIRECTION DES TITRES MINIERES

TABLEAU #4
Description des anomalies interprétées sur le bloc Akasaba

Anomalie de P.P.	Localisation		Contraste		Extension longitudinale (Ouvrte vers...) Azimut	Association magnétique	Association Megatem		Contexte géologique		Commentaires	Recommandations	Priorité	
	Ligne	Station	Charg.	Rés.			Anomalie #	Conductance	Pendage	Formation				Indices voisins
AKA-64	48+00E	10+50S	1	(R)	> 400 m (l'ouest) 085°	Aucune directe	Aucune	Sédiments	---	Source faiblement polarisable dans un environnement résistif. Porphyre? Source non affleurante.	Sondage ligne 48+00E. Extension du levé vers l'ouest.	2		
	50+00E	10+25S	1	(R)										
	52+00E	9+88S	1	(R)										
AKA-65	72+00W	Bout nord	1	-	> 4 600 m (l'ouest)	Sur le flanc nord d'une anomalie forte	0234 Modérée Subvertical	Contact basalte / argilite graphiteuse		Source formationnelle modérément conductrice et polarisable. Aucune cible distinctive à suggérer.	Anomalie probablement classifiée.	4		
	70+00W	23+00N	1	-										
	68+00W	22+75N	2	-										
	66+00W	22+00N	1	-										
	64+00W	21+75N	2	-										
	62+00W	21+38N	3	↓↓										
	60+00W	21+00N	3	↓										
	58+00W	20+75N	2	↓										
	56+00W	20+75N	2	↓										
	54+00W	20+50N	3	↓										
	52+00W	20+25N	3	↓										
	50+00W	20+00N	3	↓										
	48+00W	19+75N	3	↓										
	46+00W	19+50N	3	↓										
	44+00W	19+00N	3	↓										
	42+00W	18+50N	2	↓										
	40+00W	18+38N	2	↓										
38+00W	18+13N	2	↓											
36+00W	17+88N	2	↓											
(Trivio)	170+00E	50+75S	3	↓	100°		0266 Modérée Subvertical	---						
	178+00E	Bout sud	2	↓										

REÇU AU MRNF
06 MAI 2008
139123
DIRECTION DES TITRES MINERS

TABLEAU #4
Description des anomalies interprétées sur le bloc Akasaba

Anomalie de P.P.	Localisation		Contraste		Extension longitudinale (Ouverte vers...) Azimut	Association magnétique	Association Megatem	Contexte géologique	Commentaires	Recommandations	Priorité
	Ligne	Station	Charg.	Rés.			Anomalie #	Formation			
							Conductance	Indices voisins			
AKA-66	72+00W	18+25N	4	↓↓	> 2 800 m (l'ouest) 100°	Localement, de faible à modérée	0237	Sédiments	Source formationnelle (argilites graphiteuses) associées à la zone de failles de Cadillac. Aucune cible distinctive à suggérer.	Anomalie probablement classifiée.	4
	70+00W	18+50N	4	↓↓			Modérée				
	68+00W	18+25N	3	↓			Abrupt vers N				
	66+00W	17+75N	3	↓							
	64+00W	17+25N	3	↓			0267				
	62+00W	17+25N	3	↓							
	60+00W	16+75N	3	↓			Modérée				
	58+00W	16+00N	4	↓							
	56+00W	16+00N	4	↓↓			Subvertical				
	54+00W	15+50N	3	↓↓							
	52+00W	15+00N	2	↓			---				
	50+00W	15+00N	3	↓							
	48+00W	14+50N	3	↓							
	46+00W	13+25N	4	↓							
44+00W	12+75N	3	↓								
AKA-67	66+00W	14+50N	3	↓↓	> 2 200 m (l'ouest) 090° à 110°	Sur le flanc nord d'une anomalie modérée	0277	Contact sédiments – basalte (ou komatiite à l'ouest)	Caractère variable, mais tout de même d'allure formationnelle.	Anomalie probablement classifiée.	4
	64+00W	14+00N	4	↓↓			Forte				
	62+00W	14+00N	4	↓↓			Indéterminée				
	60+00W	14+25N	4	↓							
	58+00W	13+50N	4	-			0271 (ouest)				
	56+00W	13+00N	4	↓							
	54+00W	12+75N	2	↓			Modérée				
	52+00W	12+75N	2	↓							
	50+00W	12+75N	2	-			Abrupt vers le SW				
	48+00W	12+50N	2	-							
	46+00W	11+25N	4	-			Bloc principal				
44+00W	10+25N	4	↓								
AKA-68	64+00W	8+75N	4	-	1 600 m - 085° à 095°	Sur le flanc nord d'une anomalie modérée à forte	0270	Basalte - andésite	Caractère différent des autres anomalies formationnelles, particulièrement la section est où elle est moins conductrice et située dans un environnement résistif.	Sondage ligne 54+00W.	1
	62+00W	8+50N	4	↓			Modérée				
	60+00W	8+50N	3	↓							
	58+00W	8+50N	4	↓			Subverticale				
	56+00W	9+13N	4	↓ (R)							
	54+00W	8+50N	4	(R)			---				
	52+00W	8+00N	3	(R)							
	50+00W	7+50N	3	(R)							
48+00W	7+00N	2	(R)								

REÇU AU MRNF
09 MAI 2008
39123
DIRECTION DES TITRES MINIERES

TABLEAU #4
Description des anomalies interprétées sur le bloc Akasaba

Anomalie de P.P.	Localisation		Contraste		Extension longitudinale (Ouvrte vers...) Azimut	Association magnétique	Association Megatem	Contexte géologique	Commentaires	Recommandations	Priorité
	Ligne	Station	Charg.	Rés.			Anomalie #	Formation			
					Conductance			Indices voisins			
AKA-69	64+00W	19+75N	2	-	1 000 m	Sur le flanc sud d'une anomalie forte	Aucune	Contact andésite / argilite graphiteuse	Interprétation difficile vue à la proximité de plusieurs anomalies. Le dyke de diabase n'est peut-être pas la source de la réponse PP.	Levé de détail avec dipôles de 25 m sur des lignes aux 100 m.	2
	62+00W	19+50N	?	-							
	60+00W	19+25N	?	-							
	58+00W	19+25N	2	-							
	56+00W	19+00N	3	-							
	54+00W	18+75N	3	-	095°						
AKA-70	60+00W	12+25N	3	-	3 600 m	Aucune	Aucune	Basalte – andésite / sédiments	La portion ouest est particulièrement polarisable et traverse une masse résistive de forme arrondie (intrusion?)	Sondage ligne 46+00W.	1
	58+00W	11+25N	4	↓							
	56+00W	10+75N	2	(R)							
	52+00W	9+75N	3	(R)							
	50+00W	9+50N	4	(R)							
	48+00W	8+50N	4	(R)							
	46+00W	7+25N	3	(R)							
	44+00W	6+00N	3	(R)							
	42+00W	5+38N	4	↓ (R)							
	40+00W	5+00N	2	(R)							
	38+00W	5+00N	?	-							
	36+00W	4+75N	?	-							
	34+00W	4+25N	?	(R)							
	32+00W	3+50N	?	(R)							
	30+00W	2+25N	?	(R)							
28+00W	Bout sud	1	(R)	090° à 120°							
26+00W	Bout sud	1	(R)								
24+00W	Bout sud	?	-								
AKA-71	58+00W	17+75N	2	(R)	600 m	Aucune	Aucune	Sédiments	Source modérément polarisable dans un environnement résistif. L'interprétation est toutefois incertaine vue la proximité de plusieurs anomalies.	Levé de détail avec dipôles de 25 m sur des lignes espacées de 100 m.	2
	56+00W	17+50N	3	(R)							
	54+00W	17+25N	3	(R)							
	52+00W	17+00N	2	(R)							
AKA-72	58+00W	Bout sud	3	(R)	800 m	Sur le flanc sud d'une anomalie d'intensité variable	Aucune	Basalte - andésite	Anomalie mal définie en bout de profil.	Extension du levé vers le sud.	3
	56+00W	Bout sud	3	(R)							
	54+00W	Bout sud	3	(R)							
	52+00W	4+00N	3	(R)							
	50+00W	4+25N	3	(R)							

REÇU AU MRNF
06 MAI 2008
739123
DIRECTION DES TITRES MINIERES

TABLEAU #4
Description des anomalies interprétées sur le bloc Akasaba

Anomalie de P.P.	Localisation		Contraste		Extension longitudinale (Ouverte vers...) Azimut	Association magnétique	Association Megatem	Contexte géologique	Commentaires	Recommandations	Priorité
	Ligne	Station	Charg.	Rés.			Anomalie #	Formation			
							Conductance	Indices voisins			
AKA-73	42+00W	13+25N	2	↓	2 000 m	Aucune	Aucune	Sédiments	Dans l'extension de AKA-66, à l'est de la faille interprétée F29. Son caractère non conducteur la distingue de AKA-66.	Sondage ligne 34+00W.	1
	40+00W	(lac)	?	?							
	38+00W	12+63N	2	↓							
	36+00W	12+50N	2	-							
	34+00W	12+75N	2	-							
	32+00W	12+63N	2	-							
	30+00W	12+75N	2	-							
	28+00W	12+25N	1	-							
	26+00W	12+50N	1	-							
	24+00W	13+13N	2	-							
	22+00W	14+13N	1	-							
AKA-74A	42+00W	11+00N	3	↓↓	> 2 000 m	Concordante modérée	0271 Forte Abrupt vers SW	Basalte - andésite	La faille cartographiée F22 passe entre AKA-74A et AKA-74B. Extension de la source formationnelle AKA-67 à l'est de la faille interprétée F29.	Anomalie probablement classifiée.	4
	40+00W	9+88N ?	2	↓							
	38+00W	8+63N	4	↓↓							
	36+00W	7+63N	4	↓↓							
AKA-74B	34+00W	7+63N	3	↓	(l'est)	0273 Modérée Abrupt vers SW	---				
	32+00W	7+38N	4	↓							
	30+00W	6+88N	3	↓							
	28+00W	6+13N	3	↓							
	26+00W	5+63N	2	↓							
AKA-75	30+00W	10+25N	2	↓	> 800 m	Faible anomalie discontinue	0272 Modérée Subvertical	Sédiments	Conducteur graphitique formationnel analogue à AKA-74.	Anomalie probablement classifiée.	4
	28+00W	9+50N	1	↓							
	26+00W	9+00N	3	↓							
	24+00W	8+38N	4	↓↓							
	22+00W	7+88N	3	↓							
AKA-76	24+00W	11+00N	2	(R)	> 200 m (l'est) 105°	Aucune	Aucune	Sédiments	Source polarisable subaffleurende dans un environnement résistif.	Prospection ligne 24+00W à ligne 22+00W.	3
	22+00W	10+13N	2	(R)							
AKA-77	1+00E	8+25N	4	↓	> 900 m	Sur le flanc nord d'une anomalie modérée	0322 Faible Indéterminée	Contact andésite argilite graphiteuse	Possiblement associée à l'un des conducteurs formationnels localisés plus à l'ouest (AKA-74B ou AKA-75), mais il y a un trou de 2 km dans la couverture PP qui rend cette association risquée.	Extension du levé vers l'est et vers l'ouest.	3
	4+00E	7+63N	3	-							
	6+00E	6+75N	4	↓							
	8+00E	5+63N	2	-							
	10+00E	5+38N	2	-							

REÇU AU MRMF

06 MAI 2008
739123
DIRECTION DES TITRES MINIERES

TABLEAU #4
Description des anomalies interprétées sur le bloc Akasaba

Anomalie de P.P.	Localisation		Contraste		Extension longitudinale (Ouverte vers...) Azimut	Association magnétique	Association Megatem		Contexte géologique		Commentaires	Recommandations	Priorité	
	Ligne	Station	Charg.	Rés.			Anomalie #	Conductance	Pendage	Formation				Indices voisins
AKA-78	1+00E	Bout nord	1	(R)	> 900 m (l'est et l'ouest) 095°	Aucune	Aucune	Andésite	---	Source devenant fortement polarisable vers l'est, mais non conductrice.	Sondage ligne 8+00E.	2		
	4+00E	11+37N	3	(R)										
	6+00E	11+13N	3	-										
	8+00E	10+63N	4	-										
	10+00E	10+13N	3	-										

LÉGENDE :

Chargeabilité
Augmentation
? = marginale
1 = faible
2 = modérée
3 = forte
4 = très forte

Résistivité
Augmentation
↑ = résistif
↑↑ = très résistif
(R) = large zone résistive
Diminution
↓ = conducteur ↓↓ = très conducteur

REÇU AU MRNF
06 MAI 2008
739/23
DIRECTION DES TITRES MINIERES

6.5 Bloc Lourmet

Ce bloc a été couvert avec des espacements de 100' et des séparations $n = 1$ à 4 et jusqu'à 5 une lecture sur deux. Neuf anomalies PP y ont été recensées en plus de quelques conducteurs MEGATEM® de piètres qualités reliées au mort-terrain.

Aucune cible de sondage n'est proposée sur ce bloc. Par contre, une extension du levé PP est souhaitable pour préciser l'intérêt à porter envers les anomalies (**LMT-01**, **05** et **07**). Le seul suivi immédiat pourrait être la prospection de l'anomalie **LMT-02** sur les lignes 152+00W et 144+00W.

TABLEAU #5
Description des anomalies interprétées sur le bloc Lourmet

Anomalie de P.P.	Localisation		Contraste		Extension longitudinale (Ouverte vers...) Azimut	Association magnétique	Association Megatem	Contexte géologique	Commentaires	Recommandations	Priorité
	Ligne	Station	Charg.	Rés.			Anomalie #	Formation			
					Conductance		Indices voisins				
LMT-01A	184+00W	46+75N	2	-	> 900 m	Aucune	0176 et 0174	Andésite	Déplacée par la faille interprétée F40. L'amplitude de la réponse PP s'accroît vers l'est, mais les anomalies sont alors mal définies en bout de profil. La conductance de l'anomalie MegaTEM 0174 est d'ailleurs plus forte vers le nord-est.	Extension du levé PP vers le nord-est et possiblement vers l'ouest.	1
	180+00W	46+75N	2	-							
LMT-01B	176+00W	42+75N	1	-	(l'ouest et le nord-est)	Aucune	Faible	Andésite			
	172+00W	43+25N	1	-							
	168+00W	44+25N	1	-							
	164+00W	46+75N	2	-							
	160+00W	Bout nord	3	-							
	156+00W	Bout nord	3	(R)	055° à 090°	Abrupt vers le sud	---				
LMT-02	152+00W	36+75N	2	(R)	> 400 m (l'est) 090° à 100°	Forte anomalie coïncidente associée au gabbro	Aucune	Gabbro Lourmet Zone	Secteur déjà foré. Source subaffleurante par endroits.	Prospection lignes 152+00W et 144+00W. Extension du levé PP vers l'est.	2
	148+00W	36+75N	1	(R)							
	144+00W	37+25N	2	(R)							
	140+00W	35+75N	1	(R)							
LMT-03	152+00W	39+25N	1	(R)	> 400 m (l'est) 090° à 100°	Flanc nord de la forte anomalie associée au gabbro	Aucune	Contact dacite / gabbro Lourmet Zone	Réponse subsidiaire à LMT-02 et de très forte amplitude.	Abandon	5
	148+00W	39+75N	1	(R)							
	144+00W	40+25N	?	(R)							
	140+00W	38+75N	1	(R)							
LMT-04	152+00W	44+25N	2	-	> 400 m (l'est) 090° à 100°	Aucune	0175 (non concordante)	Contact andésite / dacite ---	Anomalie mal définie dont la signature s'affaiblit vers l'est ne nécessitant pas une extension du levé PP.	Abandon	5
	148+00W	43+25N	1	-							
	144+00W	43+25N	1	-							
	140+00W	43+25N	?	-							
LMT-05	144+00W	52+25N	2	-	> 150 m (l'est) 090°	Aucune	0175 Faible Indéterminé	Andésite ---	Anomalie de source non affleurante, très bien définie.	Extension du levé PP vers l'est.	1
	140+00W	52+25N	2	-							
LMT-06	140+00W	64+25N	?	-	400 m --- 050° à 090°	Aucune	Aucune	Andésite ---	Très faible anomalie mal définie, de continuité incertaine.	Abandon	5
	136+00W	64+25N	?	-							
	132+00W	67+25N	1	-							
	128+00W	69+75N	1	-							
LMT-07	136+00W	71+75N	1	-	> 500 m (l'est) 080° à 098°	A	0219 (ouest) Modérée Indéterminé	Contact andésite / volcanosédimentaire ---	La meilleure réponse est sur la dernière ligne à l'est, mais elle est très incomplète (levé bruiteux).	Reprise et extension du levé PP vers l'est.	1
	132+00W	73+25N	1	-							
	128+00W	74+25N	1	-							
	124+00W	74+25N	1	-							
	120+00W	74+75N	2	-							
LMT-08	128+00W	65+75N	1	-	200 m --- 050°	Aucune	0221 (ouest) Modérée Subvertical	Andésite ---	Faible anomalie de courte extension.	Abandon	5
	132+00W	62+25N	1	-							

REQU AU MRNF
06 MAI 2008
739123
DIRECTION DES TITRES MINIERES

6.6 Bloc Trivio

Aucune des 26 anomalies PP de ce bloc ne montrent une association MEGATEM[®] directe. Cinq sont situées près ou recoupent une telle anomalie. La grille, tout comme pour Lourmet, est impériale et la séparation entre les lignes est normalement 400'.

Une partie a été faite avec les séparations n = 1 à 2, 3 une fois sur deux ce qui est nettement insuffisant pour fonder une bonne interprétation. C'est ainsi que plusieurs anomalies nécessiteront un levé de détail :

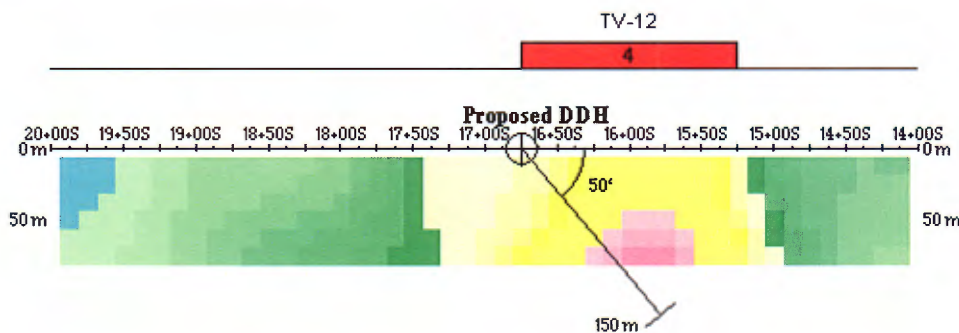
Anomalie	Priorité relative
TV-10	1
TV-07	2
TV-09	2
TV-25	2
TV-05	3

Sept cibles de première priorité sont toutefois suffisamment bien définies pour permettre un suivi immédiat.

Prospection :

- TV-01 sur ligne 84+00E
- TV-02 de ligne 90+00E à 96+00E
- TV-03 de ligne 96+00E à 100+00E
- TV-14 sur ligne 212+00E
- TV-22 sur ligne 1+00E
- TV-23 sur ligne 3+00E

Sondage : TV-12 sur ligne 202+00E :



Deux des six anomalies de seconde priorité peuvent être investiguées par prospection :

- TV-11 sur ligne 200+00E
- TV-16 de ligne 7+00W à 3+00E

Quant à TV-25, elle requiert un levé de détail avec des dipôles de 12.5 m afin d'accroître la résolution en présence de plusieurs anomalies voisines.

Le tableau 6 ci-après résume toutes les caractéristiques des anomalies du bloc Trivio en plus de présenter le suivi recommandé. Le chapitre 7 résume toutes les recommandations de première et seconde priorité.

TABLEAU #6
Description des anomalies interprétées sur le bloc Trivio

Anomalie de P.P.	Localisation		Contraste		Extension longitudinale (Ouverte vers...) Azimut	Association magnétique	Association Megatem	Contexte géologique	Commentaires	Recommandations	Priorité
	Ligne	Station	Charg.	Rès.			Anomalie #	Formation			
							Conductance	Indices voisins			
TV-01	84+00E	1+25S	2	(R)	> 600 m (l'ouest) 080° à 090°	Sur le flanc sud d'une forte anomalie	Aucune	Dacite ---	Anomalie bien définie sur la dernière ligne à l'ouest où sa source semble subaffleurante.	Prospection ligne 84+00E. Extension du levé PP vers l'ouest.	1
	90+00E	1+50S	1	(R)							
	96+00E	1+25S	1	-							
	104+00E	0+75N	2	-							
TV-02	90+00E	9+75S	2	(R)	1 250 m --- 110°	Sur le flanc sud d'une forte anomalie (portion est seulement)	Aucune	Dacite ---	Anomalie PP modérée dans un environnement résistif. Semble subaffleurante à l'extrémité ouest.	Prospection lignes 90+00E à 96+00E.	1
	96+00E	11+50S	2	(R)							
	100+00E	12+00S	3	(R)							
	104+00E	12+50S	2	(R)							
	114+00E	18+25S	?	↑							
	122+00E	19+75S	1	↑							
TV-03	96+00E	7+50S	3	(R)	250 m --- 100°	Forte anomalie coïncidente	Aucune	Gabbro ---	Courte anomalie mais de bonne intensité localisée dans un environnement résistif.	Prospection lignes 96+00E à 100+00E.	1
	100+00E	8+25S	3	(R)							
	104+00E	9+25S	3	(R)							
TV-04	122+00E	8+75S	1	↑	250 m --- 115°	Forte anomalie coïncidente	Aucune	Gabbro ---	Courte anomalie probablement induite par un amincissement du recouvrement.	Abandon	5
	130+00E	12+75S	1	↑							
TV-05	154+00E	8+25S	2	(R)	1 000 m --- 095°	Forte anomalie coïncidente (portion est seulement)	Aucune	Dacite ---	Source polarisable dans un environnement résistif. Bonne signature aux extrémités seulement.	Levé PP de détail sur lignes intermédiaires à l'ouest.	3
	162+00E	9+25S	?	(R)							
	170+00E	10+25S	?	-							
	178+00E	10+75S	1	(R)							
TV-06	162+00E	4+75S	?	↑	250 m --- 075°	Anomalie modérée coïncidente	Aucune	Dacite ---	Très faible anomalie PP mal définie, de continuité incertaine.	Abandon	5
	170+00E	2+25S	?	-							
TV-07	170+00E	33+75S	?	-	250 m --- 095°	Très forte anomalie coïncidente	0265 (150 m au nord) Faible Indéterminé	Diabase ---	Très faible anomalie PP malgré tout bien définie sur ligne 170+00E.	Levé PP de détail sur lignes intermédiaires.	2
	178+00E	34+25S	?	-							
TV-08	186+00E	45+25S	1	(R)	?	Aucune	Aucune	Basalte	Source subaffleurante	Prospection	3
TV-09	186+00E	16+25S	3	(R)	?	Aucune	Aucune	Dacite	Forte anomalie PP isolée dans un environnement résistif mais de source non affleurante.	Levé PP de détail sur lignes intermédiaires.	2
TV-10	192+00E	24+75S	3	(R)	100 m --- 085°	Sur le flanc sud d'une forte anomalie	Aucune	Diabase	Bonne intensité PP en bordure de la faille F22 mais l'anomalie est trop mal définie (levé à peu de séparations) pour permettre l'implantation d'un sondage.	Reprise du levé PP avec lignes intermédiaires à l'ouest.	1
	196+00E	24+25S	3	(R)							

REÇU AU MRRP

06 MAI 2008
739123
DIRECTION DES TITRES MINIERES

TABLEAU #6
Description des anomalies interprétées sur le bloc Trivio

Anomalie de P.P.	Localisation		Contraste		Extension longitudinale (Ouverte vers...) Azimut	Association magnétique	Association Megatem	Contexte géologique	Commentaires	Recommandations	Priorité
	Ligne	Station	Charg.	Rés.			Anomalie #	Formation			
					Conductance	Indices voisins					
TV-11	192+00E	29+50S	2	(R)	400 m	Aucune	Aucune	Andésite	Bonne réponse PP sur le flanc d'une zone résistive. La source est probablement subaffleurante.	Prospection ligne 200+00E.	2
	196+00E	34+00S	3	(R)	---						
	200+00E	37+50S	3	(R)	140°						
TV-12	196+00E	20+25S	2	(R)	550 m --- 040°	Aucune	Aucune	(Faille)	Source polarisable le long de la faille connue F22, dans un environnement résistif. Réponse PP très intéressante en particulier sur les lignes 200+00E et 202+00E.	Sondage ligne 202+00E.	1
	198+00E	Bout sud	2	(R)							
	200+00E	17+50S	3	(R)							
	202+00E	16+00S	4	(R)							
	204+00E	13+75S	3	(R)							
	208+00E	8+50S	3	(R)							
TV-13	204+00E	25+50S	2	(R)	450 m --- 040°	Aucune coïncidente	Aucune	Dacite	Anomalie parallèle à TV-12 et à la faille F22, mais d'amplitude moindre en bordure de la zone résistive.	Attendre les résultats de l'investigation de TV-12 et TV-14.	4
	208+00E	19+25S	2	(R)							
	212+00E	13+50S	2	(R)							
TV-14	208+00E	15+25S	3	(R)	400 m (le nord-est) 040°	Aucune coïncidente	Aucune	Dacite	Anomalie parallèle à TV-12 et TV-13. Réponse PP très intense en particulier sur la ligne 212+00E où la source semble subaffleurante.	Prospection ligne 212+00E.	1
	212+00E	9+75S	4	(R)							
	216+00E	6+75S	1	(R)							
TV-15	208+00E	30+75S	1	(R)	800 m --- variable	Très forte anomalie coïncidente	0315 (ouest) Forte Indéterminé	Andésite	La seule bonne réponse PP nette est à l'extrémité est. Outre une baisse de résistivité liée à un épaississement du recouvrement sur la ligne 232+00E, il n'y aurait aucune autre explication pour l'anomalie MégaTEM.	Sondage ligne 232+00E.	3
	212+00E	34+25S	1	(R)							
	216+00E	33+25S	1	(R)							
	224+00E	36+25S	1	(R)							
	232+00E	33+25S	2	(R)							
TV-16	216+00E	24+75S	?	-	> 1 800 m (l'est) 085° à 115°	Flanc nord d'une anomalie modérée	0315 (discordante) Modérée Indéterminé	Andésite - diabase	Continuité incertaine au niveau de la faille connue F23. Localisée dans un environnement résistif, sauf au niveau de F23. Source probablement formationnelle qui devrait tout de même être investiguée dans sa portion est subaffleurante.	Prospection lignes 7+00W à 3+00E.	2
	224+00E	23+25S	1	(R) ↑							
	232+00E	23+25S	?	(R)							
	9+75W	3+75N	?	-							
	7+00W	3+25N	2	(R)							
	5+00W	2+75N	3	(R)							
	1+00W	0+75N	3	(R)							
	0+00E	0+25N	4	(R)							
	1+00E	0+13S	4	(R)							
	2+00E	0+75S	4	(R)							
3+00E	1+13S	4	(R) ↓								
TV-17	224+00E	16+75S	1	(R)	250 m --- 085°	Anomalie modérée coïncidente	Aucune	Dacite	Courte anomalie de source subaffleurante sur la ligne 232+00E.	Prospection ligne 232+00E.	3
	232+00E	15+75S	1	(R)							
	9+75W	6+25N	1	(R)							
TV-18	224+00E	28+75S	2	-	250 m --- 095°	Aucune	0315 (150 m au sud) Forte Indéterminé	Andésite	La baisse de résistivité est attribuable au mort-terrain. La source PP semble subaffleurante sur la ligne 232+00E.	Prospection ligne 232+00E.	3
	232+00E	28+75S	2	↓							
	9+75W	2+00N	2	↓							

REÇU AU MRNF
06 MAI 2008
729123
DIRECTION DES TITRES MINIERES

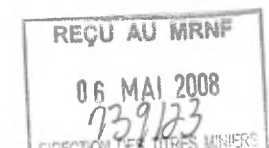
TABLEAU #6
Description des anomalies interprétées sur le bloc Trivio

Anomalie de P.P.	Localisation		Contraste		Extension longitudinale (Ouverte vers...) Azimut	Association magnétique	Association Megatem	Contexte géologique	Commentaires	Recommandations	Priorité
	Ligne	Station	Charg.	Rés.			Anomalie #	Formation			
					Conductance		Indices voisins				
TV-19	232+00E	13+25S	2	(R)↑	? --- ?	Anomalie modérée coïncidente	Aucune	Diabase ---	Anomalie isolée de source subaffleurante.	Prospection ligne 232+00E.	3
TV-20	3+00W	4+00N	2	↑	600 m (l'est) 105°	Forte anomalie coïncidente	0315 (discordante)	Diabase ---	Conductrice à la jonction avec la faille connue F23. Source subaffleurante sur la ligne 3+00W.	Prospection ligne 3+00W.	3
	1+00W	3+25N	?	↓↓							
	0+00E	2+88N	1	-							
	1+00E	2+75N	2	-							
	2+00E	2+63N	1	-							
TV-21	0+00E	4+50S	3	-	> 100 m (l'est) 100°	Flanc sud d'une forte anomalie	Aucune	Andésite ---	Anomalie mal définie, près de TV-22.	Extension du levé PP vers l'est.	2
	1+00E	4+75S	3	-							
TV-22	0+00E	3+25S	4	-	> 200 m (l'est) 120°	Forte anomalie coïncidente	Aucune	Andésite ---	Très faible anomalie subaffleurante sur la ligne 1+00E.	Prospection ligne 1+00E. Extension du levé PP vers l'est.	1
	1+00E	3+50S	4	↓							
	2+00E	4+13S	3	↓							
TV-23	0+00E	1+75S	2	(R)	> 300 m (l'est) 125°	Entre deux fortes anomalies	Aucune	Gabbro ---	Parallèle et entre TV-16 et TV-22. Subaffleurante à l'extrémité est seulement.	Prospection ligne 3+00E. Extension du levé PP vers l'est.	1
	1+00E	2+13S	3	(R)							
	2+00E	2+75S	4	(R)							
	3+00E	3+38S	3	(R)							
TV-24	0+00E	4+13N	1	-	? (l'est) ?	Anomalie modérée coïncidente	Aucune	Dacite ---	Requiert plus de couverture.	Extension du levé PP vers l'est.	3
TV-25	2+00E	1+88S	4	(R)	> 100 m (l'est) 090°	Flanc sud d'une forte anomalie	Aucune	Dacite ---	Signature confuse due à la proximité de plusieurs anomalies.	Levé PP de détail avec dipôles de 12.5 m.	2
	3+00E	1+88S	3	(R)							
TV-26	232+00E	44+25S	1	-	? --- ?	Aucune	Aucune	Andésite ---	Anomalie isolée près de la route. Source artificielle probable.	Abandon	5

LÉGENDE :

Chargeabilité
Augmentation
? = marginale
1 = faible
2 = modérée
3 = forte
4 = très forte

Résistivité
Augmentation
↑ = résistif
↑↑ = très résistif
(R) = large zone résistive
Diminution
↓ = conducteur ↓↓ = très conducteur

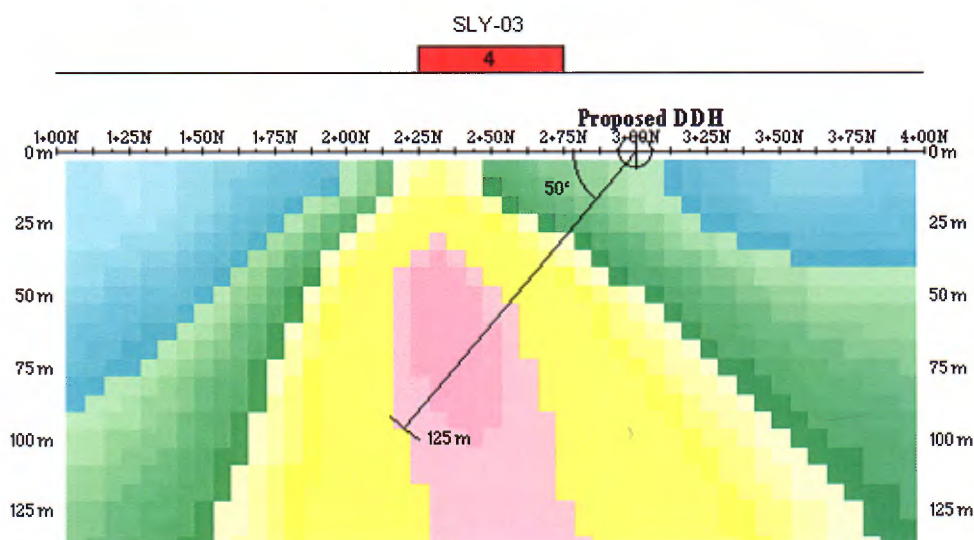


6.7 Bloc Sleepy

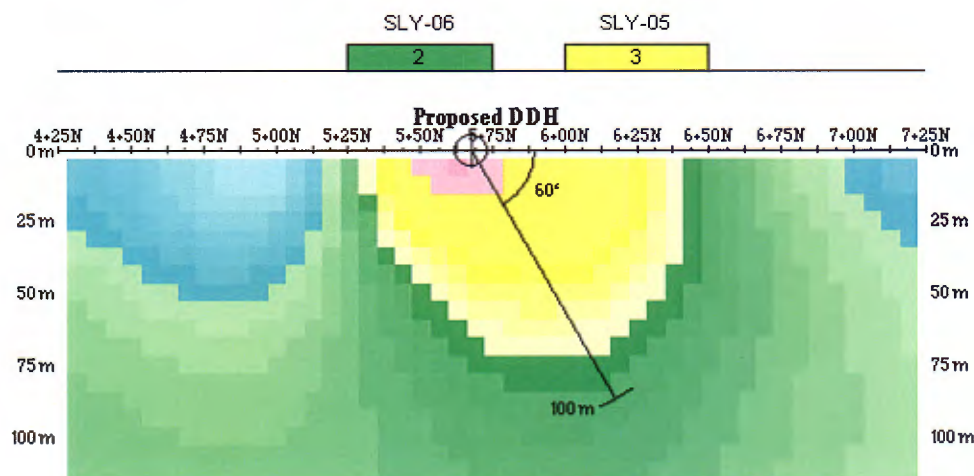
Le tableau 7 présente la description des 15 anomalies de PP interprétées sur ce bloc. Aucune n'est directement reliée à une anomalie MEGATEM[®]; d'ailleurs aucune (sauf **SLY-07** et **SLY-12** localement) de ces 15 anomalies de chargeabilité ne montre de baisse de résistivité associée. Seulement deux anomalies MEGATEM[®] sont présentes sur ce bloc. L'anomalie **0261** située à l'extrémité nord-ouest est diagnostique d'un conducteur ionique sans réponse chargeable et ne justifie pas de suivi. Quant à **0313**, elle semble représenter une faille d'orientation nord-est.

Cinq cibles de forage sont proposées en première priorité pour vérifier le potentiel des sources chargeables **SLY-03**, **05**, **07** et **12**.

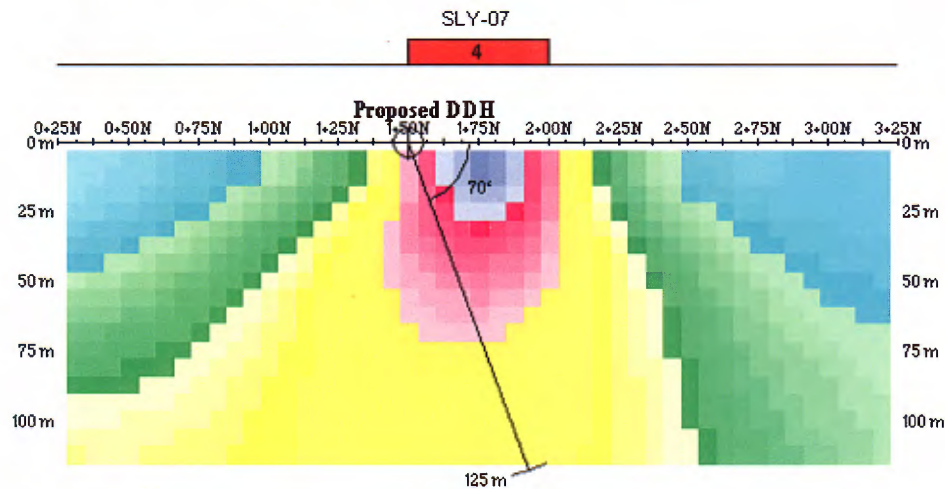
SLY-03 : sa portion ouest, à l'est de la faille interprétée F28, est particulièrement polarisable et un **sondage est recommandé sur la ligne 36+25W** :



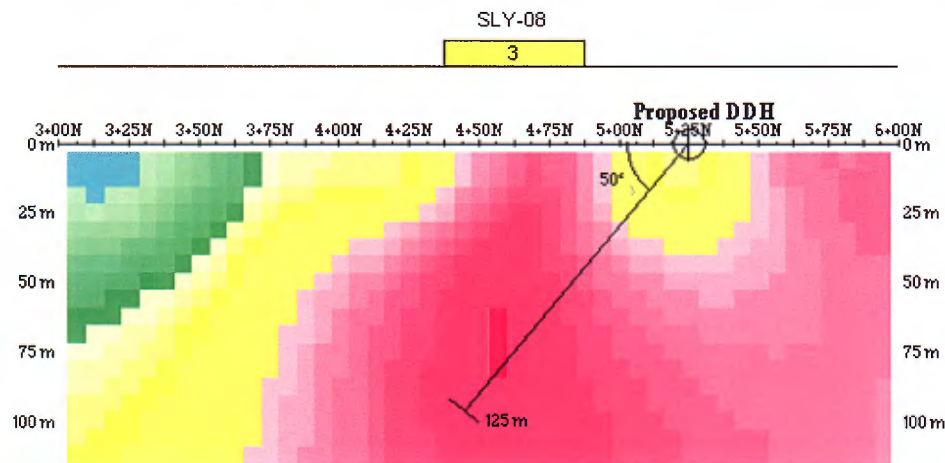
SLY-05 : cette source chargeable est coïncidente avec la réponse magnétique du filon-couche de Vicourt. **Un sondage est recommandé sur la ligne 23+00W** où la réponse PP est maximale. Cette source pourrait être constituée de plusieurs veines subhorizontales d'après la signature en chargeabilité.



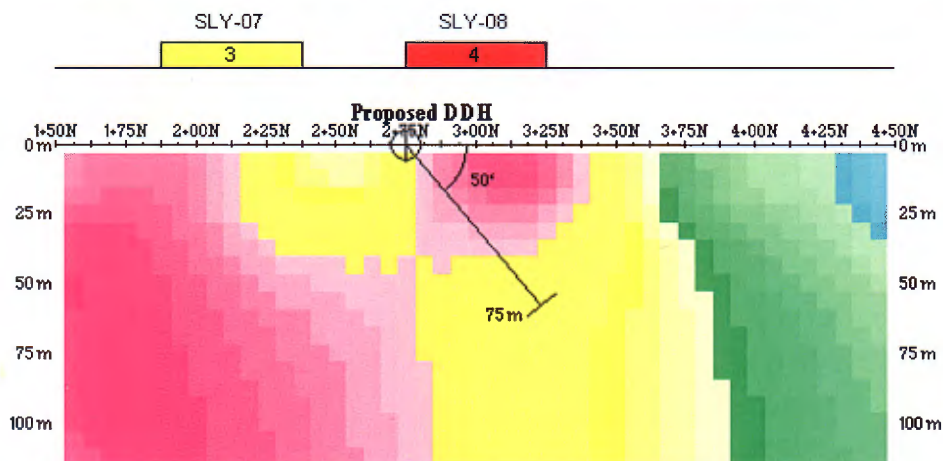
SLY-07 : la portion de part et d'autre de la faille interprétée **F22** est particulièrement polarisable.
Un sondage est recommandé sur la ligne 14+00W :



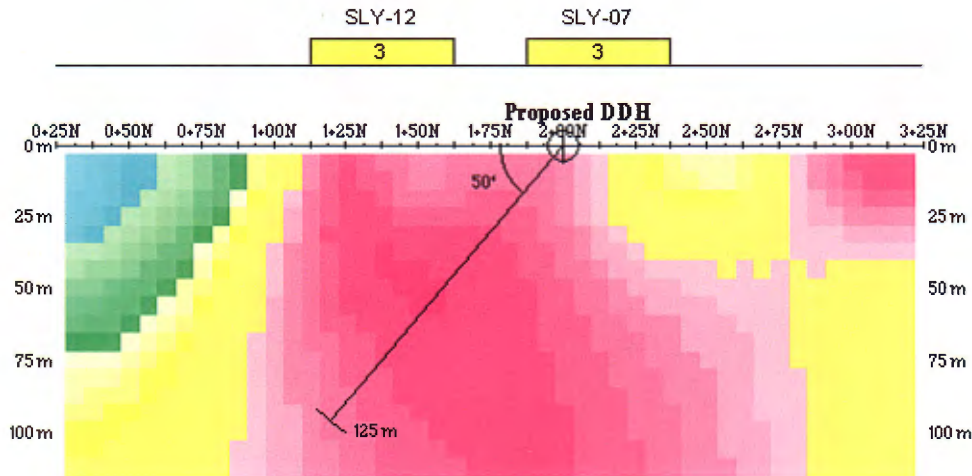
SLY-08 : cette anomalie d'amplitude modérée à forte longe le flanc sud du filon-couche de Vicourt.
Un sondage est recommandé de part de d'autre de la faille interprétée **F22** :
À l'ouest sur la ligne 16+00W :



À l'est sur la ligne 9+00W (source possiblement subhorizontale ?) :



SLY-12 : dédoublement possible de **SLY-07**. Le sondage recommandé sur la ligne 9+00W pourrait intercepter ces deux sources :



Toujours en première priorité, nous recommandons l'extension de la couverture PP vers l'ouest et vers le nord afin de mieux évaluer le potentiel de **SLY-01**. Finalement, l'anomalie **SLY-11** semble subaffleurante et des travaux de prospection y sont recommandés sur toute son extension (~ 200 m).

Le tableau 7 présente le suivi suggéré sur cinq autres cibles de seconde et troisième priorité. Rappelons que le chapitre 7 présente la compilation de toutes les recommandations de première et seconde priorité.

TABLEAU #7
Description des anomalies interprétées sur le bloc Sleepy

Anomalie de P.P.	Localisation		Contraste		Extension longitudinale (Ouverte vers...) Azimut	Association magnétique	Association Megatem		Contexte géologique		Commentaires	Recommandations	Priorité
	Ligne	Station	Charg.	Rés.			Anomalie #	Conductance	Formation	Indices voisins			
SLY-01	48+00W	6+25N	2	↓	> 700 m (l'ouest) 090°	Aucune	Aucune directe	Andésite (Au sud du filon-couche de Vicourt.) Sleepy Zone et Sigma II	Anomalie de bonne extension mais mal définie de 48+00W à 42+00W à cause de la courte extension des lignes de levé. Semble discordante par rapport au filon-couche de Vicourt.	Extension du levé vers l'ouest et vers le nord.	1		
	47+00W	6+00N	3	↓									
	46+00W	6+00N	3	↓									
	45+00W	6+00N	1	↓									
	44+00W	6+25N	2	↓									
	43+00W	6+25N	2	-									
	42+00W	6+25N	2	(R)									
	41+00W	6+25N	2	(R)									
40+00W	4+50N	2	-										
SLY-02	45+00W	4+00N	2	(R)	900 m --- 080° à 090°	Aucune	Aucune	Andésite ---	Son extrémité est se bute sur la faille interprétée F28. Semble représenter l'extension de SLY-03 à l'ouest de F28.	Attendre les résultats du sondage SLY-03.	4		
	44+00W	4+25N	1	(R)									
	43+00W	4+50N	1	(R)									
	42+00W	4+50N	1	(R)									
	41+00W	4+50N	1	(R)									
	39+00W	4+50N	2	(R)									
	38+00W	4+50N	2	(R)									
	37+25W	5+00N	2	(R)									
36+25W	5+38N	2	(R)										
SLY-03	37+25W	2+50N	3	(R)	1 600 m --- 080° à 095°	Aucune	Aucune	Andésite ---	Extension possible de SLY-02 à l'est de F28. (même contexte résistif) Source non affleurante toutefois.	Sondage ligne 36+25W	1		
	36+25W	2+50N	4	(R)									
	35+25W	2+50N	3	(R)									
	34+25W	2+25N	2	(R)									
	33+25W	2+25N	2	(R)									
	32+25W	2+25N	2	(R)									
	31+25W	2+50N	2	(R)									
	30+25W	2+75N	2	(R)									
	29+00W	2+75N	2	(R)									
	28+00W	2+75N	1	(R)									
	27+00W	2+75N	1	(R)									
	26+00W	2+88N	1	(R)									
	25+00W	3+25N	2	(R)									
	24+00W	3+38N	2	(R)									
	23+00W	3+63N	2	(R)									
22+00W	3+63N	2	(R)										
21+00W	3+50N	?	(R)										

REÇU AU MRNF
06 MAI 2008
739/23
DIRECTION DES TITRES MINIERES

TABLEAU #7
Description des anomalies interprétées sur le bloc Sleepy

Anomalie de P.P.	Localisation		Contraste		Extension longitudinale (Ouvverte vers...) Azimut	Association magnétique	Association Megatem		Contexte géologique		Commentaires	Recommandations	Priorité
	Ligne	Station	Charg.	Rés.			Anomalie #	Conductance	Formation	Indices voisins			
					Pendage								
SLY-04	37+25W	6+63N	1	(R)	250 m	Forte anomalie concordante	0261 (discordante) Faible Indéterminé	Filon-couche de Vicourt. Sleepy Zone et Sigma II	Extension probable de SLY-05 à l'ouest de F28.	Attendre les résultats du sondage de SLY-05	4		
	36+25W	6+50N	1	(R)	----								
	35+25W	6+63N	1	(R)	090°								
SLY-05	35+25W	5+25N	1	-	1 600 m	Très forte anomalie concordante	Faible	Filon-couche de Vicourt	Extension probable de SLY-04 à l'est de F28. Coïncidente avec la réponse MAG du filon-couche de Vicourt. Réponse en chargeabilité meilleure vers l'est où le recouvrement semble moins important. Source possiblement subhorizontale.	Sondage ligne 23+00W	1		
	34+25W	5+25N	1	-									
	33+25W	5+63N	1	-									
	32+25W	5+88N	1	-									
	31+25W	6+13N	1	-									
	30+25W	6+13N	?	-									
	29+25W	6+13N	?	-									
	28+25W	6+25N	?	-									
	27+25W	6+38N	?	-									
	26+25W	6+25N	?	-									
	24+00W	6+50N	1	-									
	23+00W	6+25N	3	(R)									
	22+00W	6+25N	1	-									
21+00W	6+13N	2	-										
20+00W	6+13N	2	-										
19+00W	5+88N	1	-	080° à 095°	Indéterminé	Sleepy Zone et Sigma II							
SLY-06	25+00W	5+50N	?	(R)	200 m	Très forte anomalie concordante	Aucune	Filon-couche de Vicourt	Source subhorizontale liée à SLY-05? Courte extension.	Sondage ligne 23+00W	2		
	24+00W	5+50N	2	(R)								----	
	23+00W	5+50N	2	(R)								090°	
SLY-07	25+00W	2+50N	?	(R)	1 600 m	Flanc sud d'une anomalie modérée	Aucune	Andésite	Forte réponse en chargeabilité sur la demie-est. Le roc est subaffleurant dans ce secteur mais la source de SLY-07 ne semble pas affleurer. Semble se dédoubler (SLY-12) à l'est de la faille F-22.	Sondage ligne 14+00W	1		
	24+00W	2+63N	1	(R)									
	23+00W	2+63N	1	(R)									
	22+00W	2+63N	1	(R)									
	21+00W	2+63N	?	(R)									
	19+00W	2+50N	?	(R)									
	18+00W	2+63N	?	(R)									
	17+00W	2+25N	1	(R)									
	16+00W	1+75N	2	(R)									
	15+00W	1+63N	3	(R)									
	14+00W	1+75N	4	(R)									
	13+00W	1+69N	3	(R)									
	12+00W	2+00N	3	(R)									
11+00W	2+25N	3	(R)										
10+00W	2+13N	3	(R)	080° à 105°	----								
9+00W	2+13N	3	(R)										

REÇU AU MINIF
06 MAI 2008
749/23
DIRECTION DES TITRES MINIERES

TABLEAU #7
Description des anomalies interprétées sur le bloc Sleepy

Anomalie de P.P.	Localisation		Contraste		Extension longitudinale (Ouverte vers...) Azimut	Association magnétique	Association Megaterr	Contexte géologique	Commentaires	Recommandations	Priorité
	Ligne	Station	Charg.	Rés.			Anomalie #	Formation			
							Conductance	Indices voisins			
SLY-08	22+00W	4+38N	1	-	1 700 m --- 085° à 110°	Sur le flanc sud d'une longue anomalie très intense	Aucune	Andésite (au sud du filon-couche de Vicourt).	Contexte géologique intéressant malgré l'allure formationnelle de la source. Investigation requise de part et d'autre de la faille F-22.	Sondages lignes 16+00W et 9+00W	1
	21+00W	4+50N	2	-							
	20+00W	4+50N	2	-							
	19+00W	4+75N	2	-							
	18+00W	4+63N	2	-							
	17+00W	4+63N	2	-							
	16+00W	4+63N	3	-							
	15+00W	4+50N	2	-							
	14+00W	4+38N	1	-							
	13+00W	4+25N	2	-							
	12+00W	4+13N	2	-							
	11+00W	3+75N	2	-							
	10+00W	3+38N	3	-							
	9+00W	3+00N	4	-							
	8+00W	2+88N	2	-							
7+00W	3+25N	1	-								
6+00W	3+38N	?	-								
5+00W	3+50N	?	-								
SLY-09	21+00W	Bout nord	1	-	600 m --- 085° à 095°	Sur le flanc nord d'une longue et très forte anomalie	Aucune	Contact nord du filon-couche de Vicourt	Faible anomalie mal définie en bout de ligne.	Extension du levé vers le nord.	3
	20+00W	Bout nord	1	-							
	19+00W	Bout nord	1	-							
	18+00W	Bout nord	1	-							
	17+00W	7+25N	1	-							
	16+00W	7+25N	1	-							
	15+00W	7+13N	2	-							
SLY-10	28+00W	3+50N	1	(R)	100 m --- ~ 080°	Aucune	Aucune	Andésite ---	Mal définie, à proximité de SLY-03.	Abandon	5
	27+00W	Bout nord	2	(R)							
SLY-11	16+00W	6+13N	2	(R)	200 m --- 110°	Très forte anomalie concordante	Aucune	Filon-couche de Vicourt ---	Dans l'extension de SLY-05. Située dans un environnement résistif. Source probablement affleurante.	Prospection sur toute l'extension	1
	15+00W	5+75N	2	(R)							
	14+00W	5+38N	3	(R)							
SLY-12	12+00W	1+25N	3	(R)	500 m --- 085° à 095°	Aucune	0313 (discordante, faille?)	Dacite / andésite ---	Dédoublément de SLY-07 à l'est de la faille F22. Possibilité d'investiguer SLY-07 et SLY-12 avec le même sondage.	Sondage ligne 9+00W	1
	11+00W	1+38N	2	(R)							
	10+00W	1+50N	3	(R)							
	9+00W	1+38N	3	-							
	8+00W	1+25N	3	↓							
	7+00W	1+38N	3	-							

REÇU AU MINRE
1
06 MAI 2008
139123
DIRECTION DES TITRES MINERS

TABLEAU #7
Description des anomalies interprétées sur le bloc Sleepy

Anomalie de P.P.	Localisation		Contraste		Extension longitudinale (Ouverte vers...) Azimut	Association magnétique	Association Megatem	Contexte géologique	Commentaires	Recommandations	Priorité
	Ligne	Station	Charg.	Rés.			Anomalie #	Formation			
							Conductance	Indices voisins			
SLY-13	11+00W	5+75N	1	-	100 m	Flanc nord d'une longue et très intense anomalie	Aucune	Filon couche de Vicourt	Extension de SLY-09?	Extension du levé vers l'est	3
	10+00W	Bout nord	1	-	095°						
SLY-14	7+00W	Bout sud	3	-	> 200 m	Anomalie modérée	Aucune	Dacite / andésite	Source affleurante sur 6+00W. Contribution artificielle?	Extension du levé vers le sud-ouest	2
	6+00W	Bout sud	4	-	(sud-ouest)						
	5+00W	0+63N	2	-	080°						
SLY-15	0+00E	1+25N	2	-	> 400 m (l'est) 080° à 100°	Anomalie modérée à forte	Aucune	Dacite / andésite et filon-couche de Vicourt à l'est (?)	Extension de SLY-14 à l'est de F29A.	Sondage ligne 2+00W Extension du levé vers l'est.	2
	1+00W	inondée	(?)	(?)							
	2+00W	1+00N	3	-							
	3+00W	1+25N	2	-							
	4+00W	1+25N	2	-							

LÉGENDE :

Chargeabilité

Augmentation

? = marginale
1 = faible
2 = modérée
3 = forte
4 = très forte

Résistivité

Augmentation

↑ = résistif
↑↑ = très résistif
(R) = large zone résistive

Diminution

↓ = conducteur
↓↓ = très conducteur



7. RÉSUMÉ DES RECOMMANDATIONS

7.1 CIBLES DE PREMIÈRE PRIORITÉ

Tableau 8

Bloc	Anomalie(s)	Travaux recommandés	Cible des travaux*
Airport	MEGATEM 0013	Levé pôle-dipôle a=50m, n=1 à 8	sur toute l'anomalie
	AIR-16	Levé dipôle-dipôle a=50m, n=1 à 6	vers le nord, l'est et l'ouest
Orenada	MEGATEM 0045 MEGATEM 0086 MEGATEM 0087	Levé pôle-dipôle a=25m, n=1 à 10	de 7+00E à 50+00E (grille référence 06N979B)
	ORE-10	Sondage	23+00E, 3+50N, -125 m
	ORE-20	Prospection	41+00E, 0+75N et de (45+00E, 1+63N) à (46+00E, 1+75N)
	ORE-25	Prospection Sondage	48+00E, 1+63N 55+00E, 2+75N, -50 m
	ORE-27	Prospection	De (48+00E, 3+00N) à (57+00E, 4+25N)
	ORE-36	Prospection Sondage	59+00E, 5+75N 56+00E, 5+25N, -75 m
Sabourin Creek	SC-01D	Sondage*	41+00W, 4+50N, -100 m
	SC-02D	Sondage	42+00W, 7+25N, -150 m
Akasaba	AKA-01 et AKA-03	Levé pôle-dipôle a=25m, n=1 à 8	60+00W à 20+00W
	AKA-18	Sondage Levé dipôle-dipôle a=25m, n=1 à 6	15+00W, 2+88N, -75 m Vers le nord-est
	AKA-26	Prospection	6+00W, 1+28S et 1+00W, 0+25S
	AKA-30	Prospection	4+00W, 2+75S
	AKA-32	Prospection Levé dipôle-dipôle a=25m, n=1 à 6	0+00, 1+75S Vers l'est
	AKA-40	Prospection Levé dipôle-dipôle a=25m, n=1 à 6	de (2+00E, 1+38N) à (3+00E, 1+75N) Vers l'est et l'ouest
	AKA-42	Sondage Levé dipôle-dipôle a=25m, n=1 à 6	3+00E, 6+75N, -75 m Vers l'est et l'ouest
	AKA-46	Prospection	2+00E, 2+75N
	AKA-51	Sondage	6+00W, 5+75N, -125 m 0+00, 6+25N, -100 m 14+00E, 5+00N, -100 m
	AKA-56	Sondage Levé pôle-dipôle a=50m, n=1 à 6	1+00E, 3+75S, -100 m Extension vers l'ouest
	AKA-58	Sondage	12+00E, 0+25N, -75 m
	AKA-68	Sondage	54+00W, 8+50N, -125 m
	AKA-70	Sondage	46+00W, 7+25N, -150 m
	AKA-73	Sondage	34+00W, 12+75N, -125 m

Bloc	Anomalie(s)	Travaux recommandés	Cible des travaux*
Lourmet	LMT-01A et 01B	Levé dipôle-dipôle a=100', n=1 à 6	Vers le nord-est et vers l'ouest
	LMT-05	Levé dipôle-dipôle a=100', n=1 à 6	Vers l'est
	LMT-07	Levé dipôle-dipôle a=100', n=1 à 6	de 138+00W à 110+00W (aux 200')
Trivio	TV-01	Prospection Levé dipôle-dipôle a=100', n=1 à 6	84+00E, 1+25S Vers l'ouest
	TV-02	Prospection	de (90+00E, 9+75S) à (96+00E, 11+50S)
	TV-03	Prospection	de (96+00E, 7+50S) à (100+00E, 8+25S)
	TV-10	Levé dipôle-dipôle a=25m, n=1 à 5	de 186+00E à 200+00E (aux 200')
	TV-12	Sondage	202+00E, 16+00S, -75 m
	TV-14	Prospection	212+00E, 9+75S
	TV-22	Prospection Levé dipôle-dipôle a=25m, n=1 à 5	1+00E, 3+50S Vers l'est
	TV-23	Prospection Levé dipôle-dipôle a=25m, n=1 à 5	3+00E, 3+38S Vers l'est
Sleepy	SLY-01	Levé pôle-dipôle a=50m, n=1 à 6	vers l'ouest et le nord
	SLY-03	Sondage	36+25W, 2+50N, -75 m
	SLY-05	Sondage	23+00W, 6+25N, -50 m
	SLY-07	Sondage	14+00W, 1+75N, -50 m
	SLY-08	Sondages (2)	16+00W, 4+63N, -75 m 9+00W, 3+00N, -25 m
	SLY-11	Prospection	de (16+00W, 6+13N) à (14+00W, 5+38N)
	SLY-12	Sondage	9+00W, 1+38N, -75 m

* Dans le cas d'un sondage, précisons que les coordonnées fournies représentent la cible à atteindre et non le collet du sondage proposé.

7.2 CIBLES DE SECONDE PRIORITÉ

Tableau 9

Bloc	Anomalie(s)	Travaux recommandés	Cible des travaux
Airport	AIR-01A	Sondage Levé dipôle-dipôle a=50m, n=1 à 6	18+00W, 9+00S, -150 m Vers l'ouest
	AIR-02	Sondage*	9+00W, 2+50S, -120 m
	AIR-04	Levé dipôle-dipôle a=50m, n=1 à 6	Vers le sud
	AIR-08	Prospection Levé dipôle-dipôle a=50m, n=1 à 6	de (3+00W, 1+50S) à (0+00, 2+00S) lignes 1+00E à 11+00E (reprise et extension vers le sud)
	AIR-10	Sondage Levé dipôle-dipôle a=50m, n=1 à 6	2+00W, 5+50S, -120 m Vers l'est
	AIR-11	Sondage Levé dipôle-dipôle a=50m, n=1 à 6	2+00W, 10+25S, -140 m Vers l'est
	AIR-17	Levé dipôle-dipôle a=50m, n=1 à 6	lignes 17+00E à 25+00E (reprise et extension vers le nord)
Orenada	ORE-02	Levé dipôle-dipôle a=50m, n=1 à 5	lignes 9+00E à 11+00E
	ORE-03	Prospection	12+00E, 4+25N
	ORE-16	Prospection	35+00E, 0+75N
	ORE-21	Sondage Prospection	48+00E, 0+25N, -50 m (51+00, 0+50N) et (57+00E, 2+38N)
	ORE-28 MEGATEM 0086	Levé dipôle-dipôle a=25m, n=1 à 10	Couvrir l'anomalie MEGATEM qui est à l'ouest de l'anomalie PP
	Sabourin Creek	SC-02A	Levé pôle-dipôle a=50m, n=1 à 6
SC-02B		Sondage conditionnel	47+00W, 8+13N, -100 m
SC-05		Prospection	25+00W, 10+88N
Akasaba	AKA-02	Levé pôle-dipôle a=25m, n=1 à 8	Reprise du levé lignes 50+00W à 46+00W
	AKA-11	Prospection Levé dipôle-dipôle a=25m, n=1 à 6	23+00W, 12+00S Vers l'ouest
	AKA-15	Prospection Levé dipôle-dipôle a=50m, n=1 à 6	de (18+00W, 0+38N) à (17+00W, 0+50N) Vers l'ouest
	AKA-17	Prospection	de (16+00W, 5+13S) à (15+00W, 4+63S)
	AKA-21	Prospection	10+00W, 6+63S
	AKA-29	Prospection	3+00W, 0+25N
	AKA-45	Levé dipôle-dipôle a=25m, n=1 à 6	Vers l'est et vers l'ouest
	AKA-47 et 48	Levé dipôle-dipôle a=25m, n=1 à 6	Vers l'est
	AKA-59	Prospection	20+00E, 4+88S
	AKA-62A	Levé dipôle-dipôle a=25m, n=1 à 8	Lignes 28+00E à 37+00E (aux 100 m)
	AKA-62B	Levé dipôle-dipôle a=25m, n=1 à 6 Sondage probable	Lignes 37+00E à 54+00E (aux 100 m) 46+00E, 6+25N, ?

Bloc	Anomalie(s)	Travaux recommandés	Cible des travaux
Akasaba (suite)	AKA-64	Sondage Levé pôle-dipôle a=50m, n=1 à 6	48+00E, 10+50S, -150 m Vers l'ouest
	AKA-69 et 71	Levé dipôle-dipôle a=25m, n=1 à 8	Lignes 66+00W à 50+00W (aux 100 m)
	AKA-78	Sondage	8+00E, 10+63N, -75 m
Lourmet	LMT-02	Prospection	152+00W, 36+75N et 144+00W, 37+25N
Trivio	TV-07 et 09	Levé dipôle-dipôle a=100m, n=1 à 6	170+00E à 192+00E (aux 200')
	TV-11	Prospection	200+00E, 37+50S
	TV-16	Prospection	de (7+00W, 3+25N) à (3+00E, 1+13S)
	TV-21	Levé dipôle-dipôle a=25m, n=1 à 6	Vers l'est
	TV-25	Levé dipôle-dipôle a=12.5m, n=1 à 10	de 1+00E à 4+00E
Sleepy	SLY-06	Sondage	23+00W, 5+50N, -25 m
	SLY-14	Levé pôle-dipôle a=25m, n=1 à 8	Vers le sud-ouest
	SLY-15	Levé pôle-dipôle a=25m, n=1 à 8 Sondage	Vers l'est 2+00W, 1+00N, -100 m

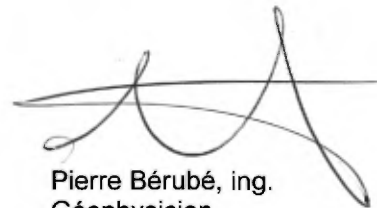
* Dans le cas d'un sondage, précisons que les coordonnées fournies représentent la cible à atteindre et non le collet du sondage proposé.

Notre connaissance de la géologie du projet Louvicourt étant limitée, notre interprétation est exclusivement basée sur la signature géophysique des anomalies définies par le présent levé. Ainsi, Alexandria Minerals Corporation se devra, à la lumière d'information géoscientifique additionnelle, d'évaluer et de définir la priorité accordée à de futurs travaux.

Respectueusement déposé,
Abitibi Géophysique inc.



Circé Maïo Lalande, ing.
Géophysicienne



Pierre Bérubé, ing.
Géophysicien

PB/cp

ALEXANDRIA MINERALS CORPORATION

**COMPILATION GÉOPHYSIQUE
(MAG – PP-MEGATEM®)
PROJET LOUVICOURT**

CANTONS DE BOURLAMAQUE, LOUVICOURT & VAUQUELIN
CAMP MINIER DE VAL-D'OR, ABITIBI, QUÉBEC

RAPPORT FINAL

06N979 VOLUME 2 JUILLET 2007

Ressources Naturelles
Secteur mines

46 MAI 2008

Bureau Régional Val-d'Or

739 123

VOLUME 1

TABLE DES MATIÈRES

1. LE MANDAT	1
2. LA ZONE À L'ÉTUDE	3
3. LE LEVÉ MEGATEM® (INCLUANT LE MAG)	5
3.1 DESCRIPTION DU LEVÉ	5
3.2 STADES DE DIFFUSION DES ONDES ÉLECTROMAGNÉTIQUES (EM)	6
3.3 CARTOGRAPHIE DES ANOMALIES MEGATEM®	7
4. LEVÉS DE RÉSISTIVITÉ / POLARISATION PROVOQUÉE	8
4.1 LEVÉS COMPRIS DANS LA PRÉSENTE ÉTUDE.....	8
4.2 SPÉCIFICATIONS TECHNIQUES DES LEVÉS.....	10
4.3 INVERSION DES DONNÉES DE RÉSISTIVITÉ / PP.....	12
5. PRODUITS LIVRÉS	14
6. INTERPRÉTATION ET SUIVI PROPOSÉ	16
6.1 BLOC AIRPORT	16
6.2 BLOC ORENADA.....	21
6.3 BLOC SABOURIN CREEK.....	27
6.4 BLOC AKASABA.....	32
6.5 BLOC LOURMET	51
6.6 BLOC TRIVIO	53
6.7 BLOC SLEEPY.....	57
7. RÉSUMÉ DES RECOMMANDATIONS	64
7.1 CIBLES DE PREMIÈRE PRIORITÉ.....	64
7.2 CIBLES DE SECONDE PRIORITÉ.....	66

LISTE DES FIGURES

FIGURE 1. LES PROPRIÉTÉES DU PROJET LOUVICOURT.....	2
FIGURE 2. LOCALISATION DES PROPRIÉTÉES COUVERTES PAR LA PRÉSENTE ÉTUDE.....	4
FIGURE 3. LOCALISATION DES GRILLES DE LEVÉ DE RÉSISTIVITÉ / PP COMPILÉES DANS LA PRÉSENTE ÉTUDE	9
FIGURE 4. LA CONFIGURATION DIPÔLE-DIPÔLE	10
FIGURE 5. LA CONFIGURATION PÔLE-DIPÔLE.....	11
FIGURE 6. DÉMO <i>IMAGE2D</i> ® SUR DES DONNÉES SYNTHÉTIQUES	13

VOLUME 1 (suite)

TABLE DES MATIÈRES

LISTE DES TABLEAUX

TABLEAU 1. DESCRIPTION DES ANOMALIES INTERPRÉTÉES SUR LE BLOC AIRPORT	17
TABLEAU 2. DESCRIPTION DES ANOMALIES INTERPRÉTÉES SUR LE BLOC ORENADA.....	23
TABLEAU 3. DESCRIPTION DES ANOMALIES INTERPRÉTÉES SUR LE BLOC SABOURIN CREEK.....	29
TABLEAU 4. DESCRIPTION DES ANOMALIES INTERPRÉTÉES SUR LE BLOC AKASABA	36
TABLEAU 5. DESCRIPTION DES ANOMALIES INTERPRÉTÉES SUR LE BLOC LOURMET	52
TABLEAU 6. DESCRIPTION DES ANOMALIES INTERPRÉTÉES SUR LE BLOC TRIVIO	54
TABLEAU 7. DESCRIPTION DES ANOMALIES INTERPRÉTÉES SUR LE BLOC SLEEPY.....	60
TABLEAU 8. CIBLES DE PREMIÈRE PRIORITÉ.....	64
TABLEAU 9. CIBLES DE SECONDE PRIORITÉ	66

CARTES EN POCLETTE

CARTE 10.0W, INTERPRÉTATION GÉOPHYSIQUE, ÉCHELLE 1:10 000

CARTE 10.0E, INTERPRÉTATION GÉOPHYSIQUE, ÉCHELLE 1:10 000

VOLUME 2

TABLE DES MATIÈRES

CARTES EN POCLETTE (échelle 1:10 000)

CARTE 1.2W, LEVÉ MAGNÉTOMÉTRIQUE, CONTOURS DU CHAMP TOTAL

CARTE 1.2E, LEVÉ MAGNÉTOMÉTRIQUE, CONTOURS DU CHAMP TOTAL

CARTE 1.4W, INTERPRÉTATION GÉOPHYSIQUE SUR LE GRADIENT VERTICAL CALCULÉ

CARTE 1.4E, INTERPRÉTATION GÉOPHYSIQUE SUR LE GRADIENT VERTICAL CALCULÉ

CARTE 8.2W, LEVÉ DE POLARISATION PROVOQUÉE RÉSIDIVITÉ *IMAGE2D*[®] À -50 M (OHM-M)

CARTE 8.2E, LEVÉ DE POLARISATION PROVOQUÉE RÉSIDIVITÉ *IMAGE2D*[®] À -50 M (OHM-M)

CARTE 8.3W, LEVÉ DE POLARISATION PROVOQUÉE RÉSIDIVITÉ *IMAGE2D*[®] À -50 M (MV/V)

CARTE 8.3E, LEVÉ DE POLARISATION PROVOQUÉE RÉSIDIVITÉ *IMAGE2D*[®] À -50 M (MV/V)